

Algorithmen zur Visualisierung von Graphen

Teile & Herrsche-Algorithmen:
Bäume und serien-parallele Graphen

Vorlesung im Wintersemester 2011/2012

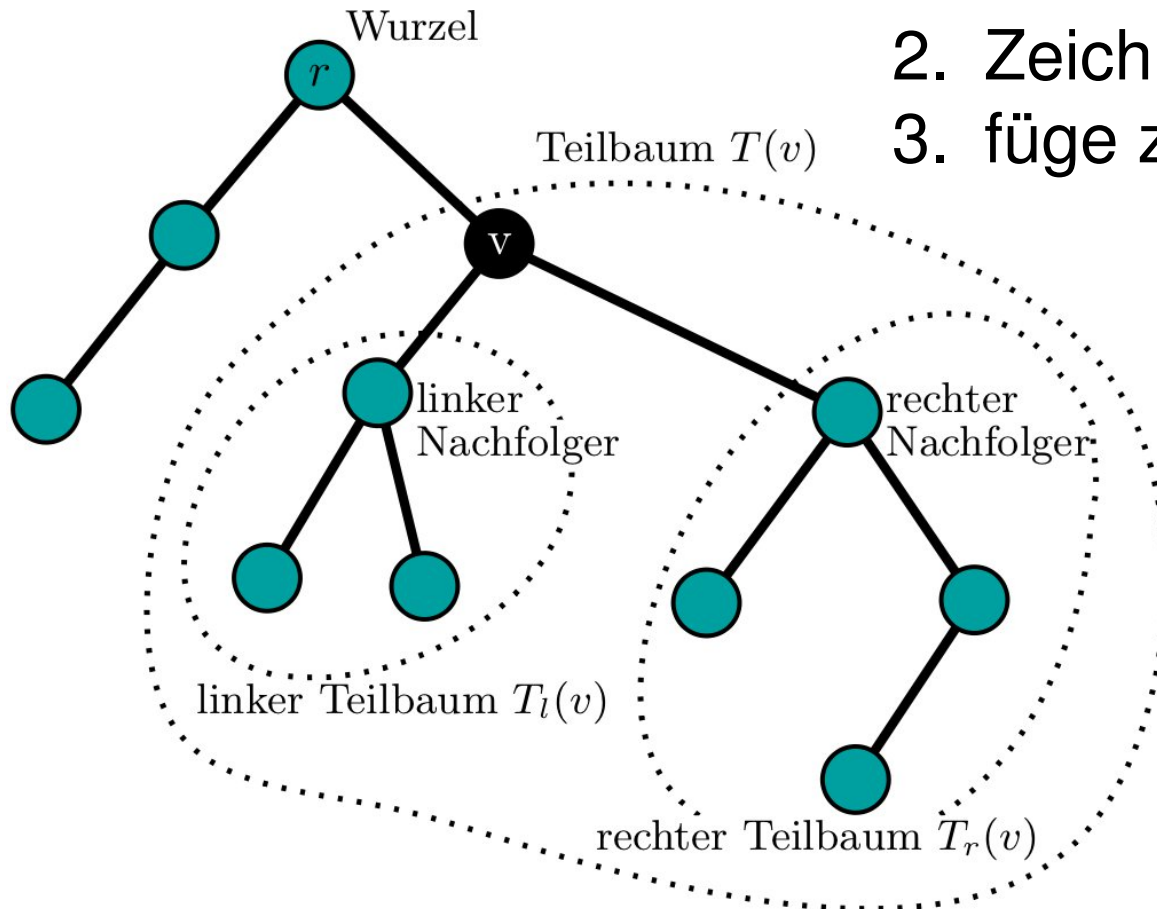
Ignaz Rutter

11.1.2012

Algorithmen zum Zeichnen von Bäumen

Gut bei induktiv oder rekursiv definierten Familien von Graphen

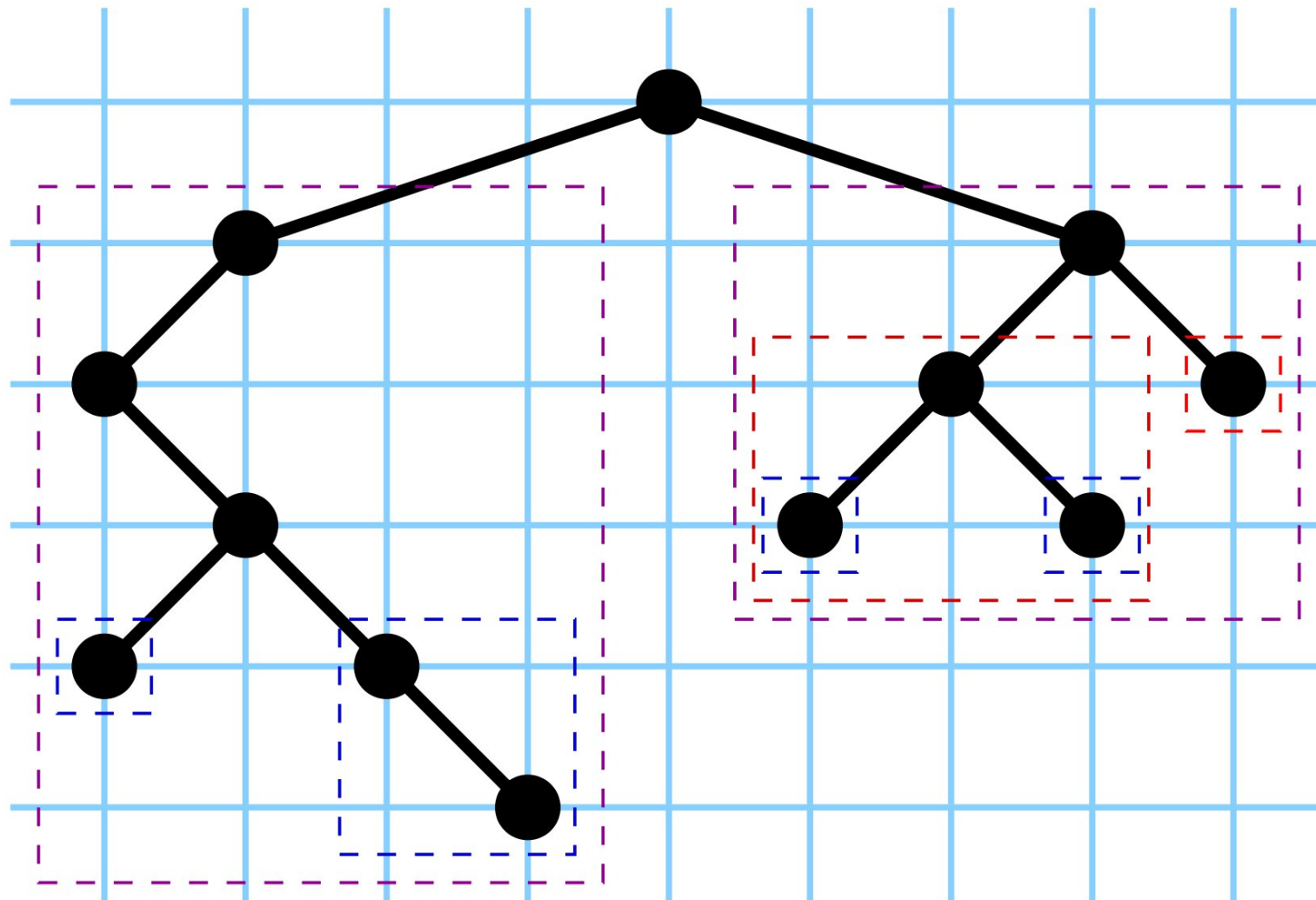
Binärbaum mit Wurzel:



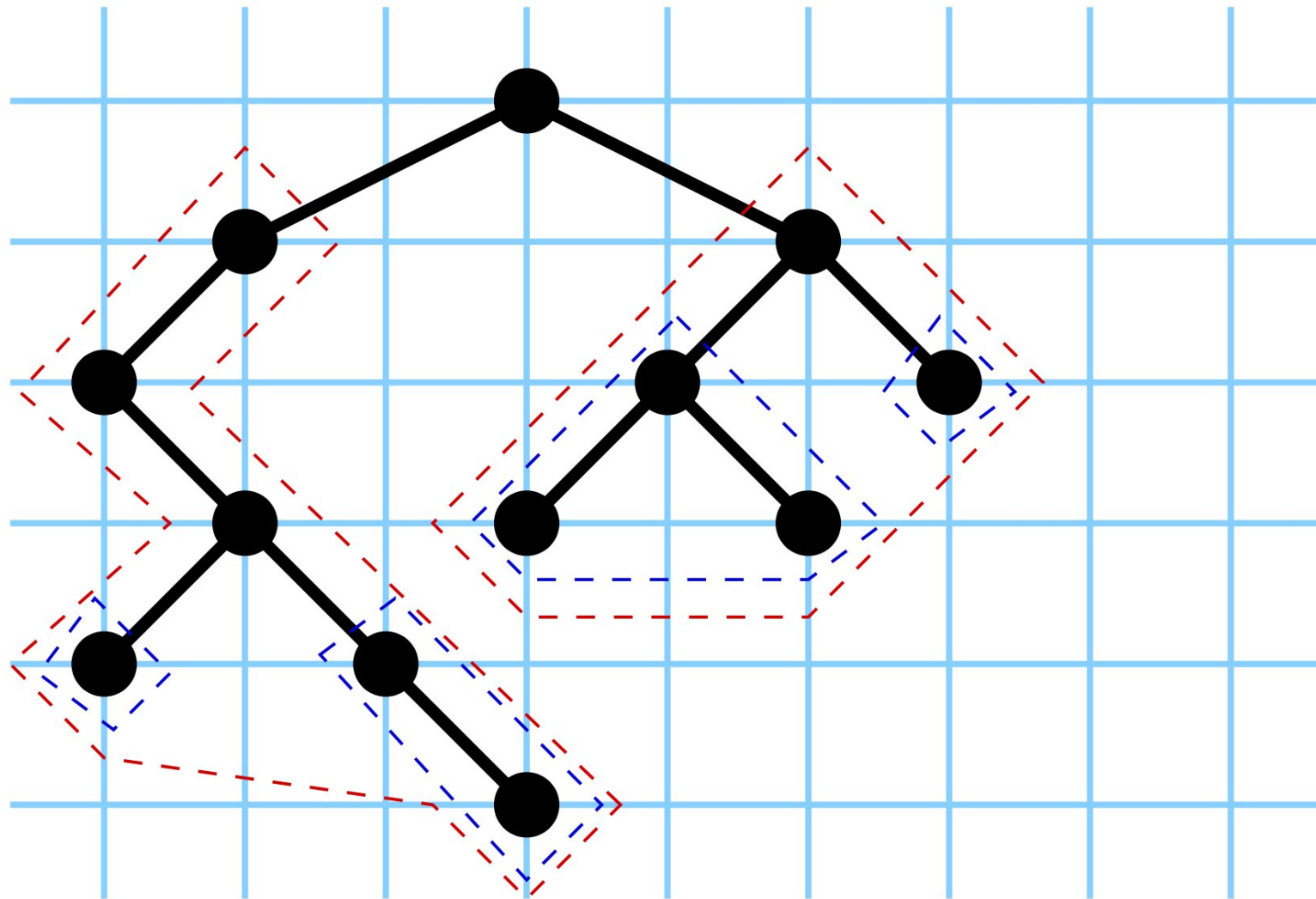
1. Zeichne linken Teilbaum
2. Zeichne rechten Teilbaum
3. füge zusammen + Wurzel

- $\text{tiefe}(v)$: Abstand zur Wurzel
- Durchlaufreihenfolgen
 - preorder
 - inorder
 - postorder

Algorithmus von Reingold und Tilford ('81)



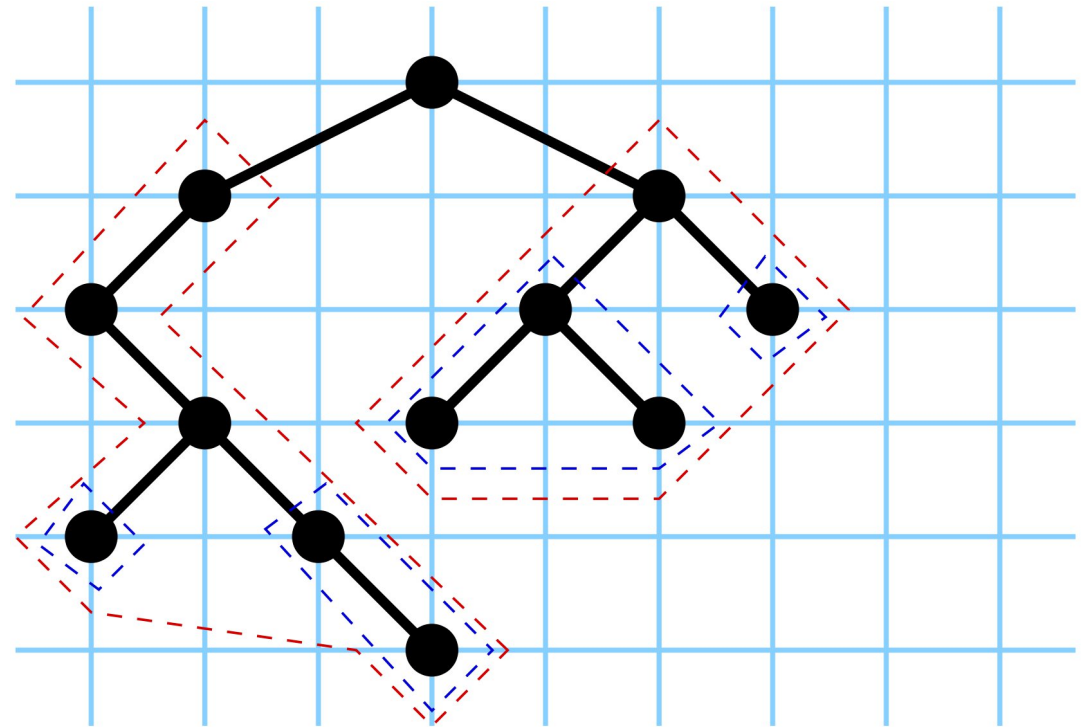
Algorithmus von Reingold und Tilford ('81)



Algorithmus von Reingold und Tilford ('81)

2 Phasen:

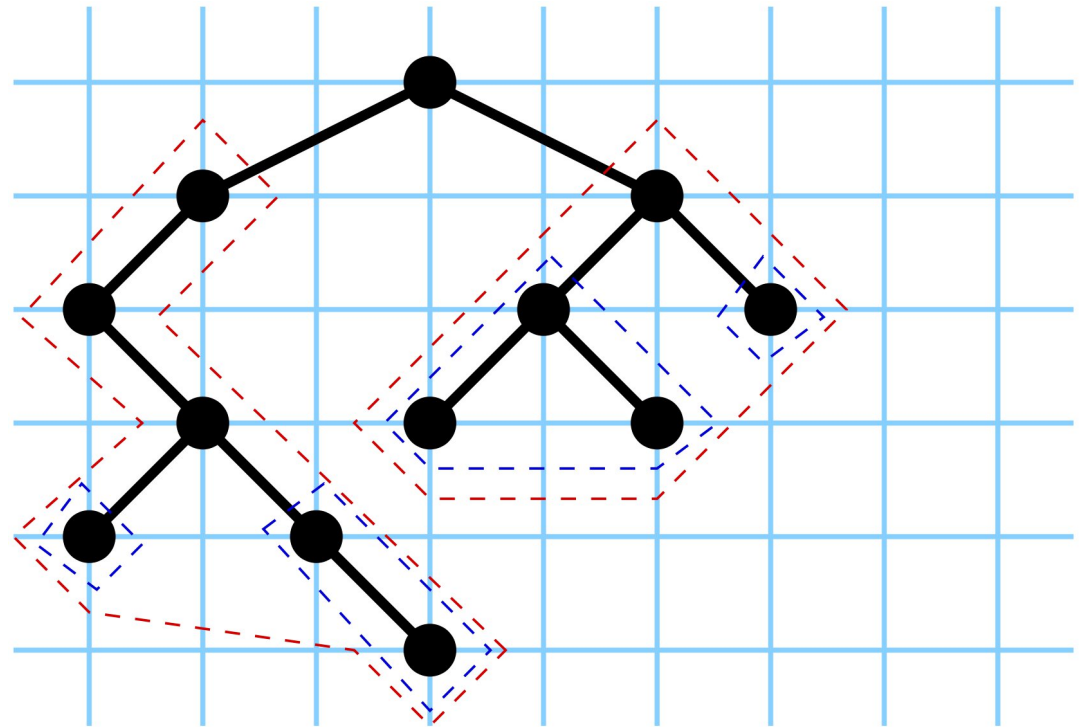
1. postorder (bottom-up):
Konturen und x-Offsets
zum Vorgänger einsam-
meln
2. preorder (top-down): ab-
solute Koordinaten aus-
rechnen



Algorithmus von Reingold und Tilford ('81)

2 Phasen:

1. postorder (bottom-up):
Konturen und x-Offsets
zum Vorgänger einsam-
meln
2. preorder (top-down): ab-
solute Koordinaten aus-
rechnen



Kontur: verkettete Liste von Knoten (-Koordinaten)

Phase 1:

1. Bearbeite $T_\ell(v)$ und $T_r(v)$
2. Laufe parallel linke Kontur von $T_r(v)$ und rechte Kontur von $T_\ell(v)$ ab
3. Bestimmt daraus d_v , den horizontalen Minimalabstand von v_ℓ und v_r
4. $x\text{-Offset}(v_\ell) = -\lceil \frac{d_v}{2} \rceil$, $x\text{-Offset}(v_r) = \lceil \frac{d_v}{2} \rceil$
5. Baue linke Kontur von T_v aus: v , linke Kontur von $T_\ell(v)$ und evtl. überhängendes Teilstück von linker Kontur von $T_r(v)$
6. Rechte Kontur analog

Phase 2

1. Setze y -Koordinate $y(v) = -\text{tiefe}(v)$
2. Setze $x(v) = 0$ für Wurzel und rekursiv die x -Koordinate $x(v_\ell)$ und $x(v_r)$ der Nachfolger von v auf $x(v) + x\text{-Offset}(x(v_\ell))$ bzw. $x(v) + x\text{-Offset}(x(v_r))$

Zusammenfassung:

Algorithmus berechnet **Binärbaumlayout**:

- geradliniges Gitterlayout
- tiefengeschichtet, kreuzungsfrei
- Knoten derselben Tiefe haben Abstand ≥ 2
- Knoten sind über Nachfolgern zentriert
- linke/rechte Nachfolger sind strikt links/rechts
- identische Teilbäume gleich gezeichnet

Satz (Supowit, Reingold)

Die Breitenminimierung von Binärbaumlayouts ist NP-schwer

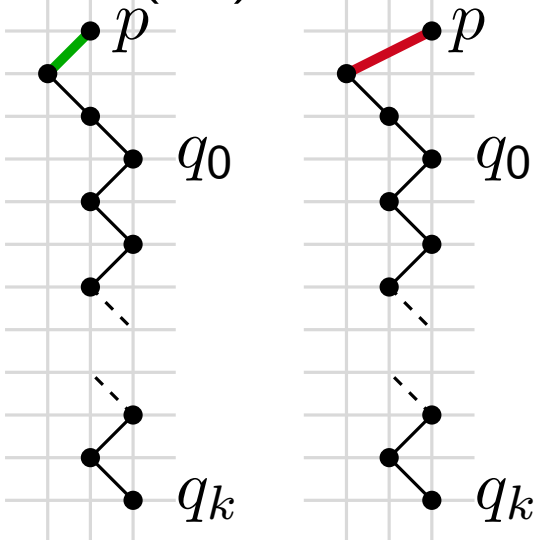
Beweis: Reduktion von 3SAT

$$F = C_1 \wedge \dots \wedge C_m,$$

$$C_i = y_{i,1} \vee y_{i,2} \vee y_{i,3}, \quad y_{i,j} \in \{x_1, \dots, x_n, \overline{x_1}, \dots, \overline{x_n}\}$$

Konstruiere Baum $T(F)$, der genau dann Layout mit Breite $W \leq 24$ hat, wenn F erfüllbar ist.

Baum $T(x_k)$ für Var. x_k :



Satz (Supowit, Reingold)

Die Breitenminimierung von Binärbaumlayouts ist NP-schwer

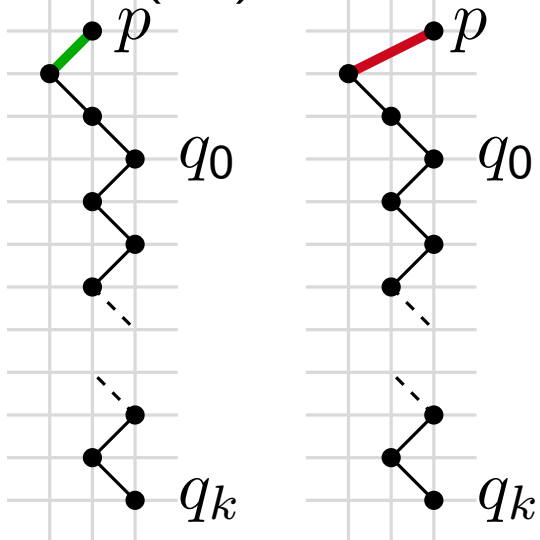
Beweis: Reduktion von 3SAT

$$F = C_1 \wedge \dots \wedge C_m,$$

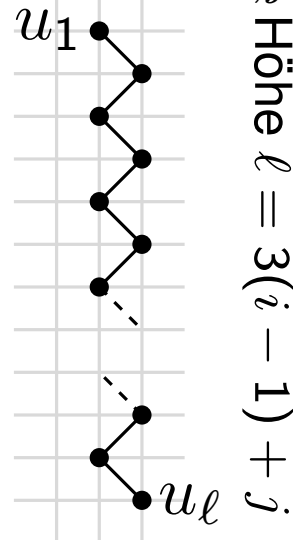
$$C_i = y_{i,1} \vee y_{i,2} \vee y_{i,3}, \quad y_{i,j} \in \{x_1, \dots, x_n, \overline{x_1}, \dots, \overline{x_n}\}$$

Konstruiere Baum $T(F)$, der genau dann Layout mit Breite $W \leq 24$ hat, wenn F erfüllbar ist.

Baum $T(x_k)$ für Var. x_k :



Baum $T_{i,j}$



Satz (Supowit, Reingold)

Die Breitenminimierung von Binärbaumlayouts ist NP-schwer

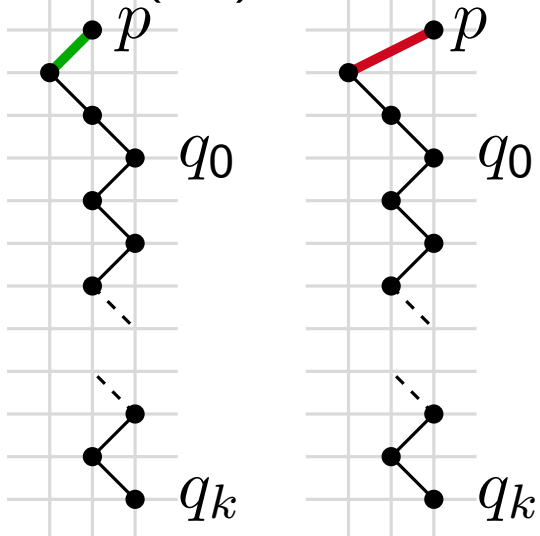
Beweis: Reduktion von 3SAT

$$F = C_1 \wedge \dots \wedge C_m,$$

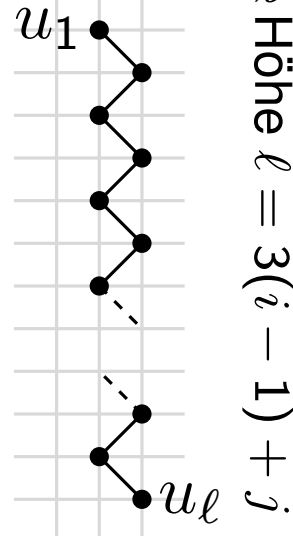
$$C_i = y_{i,1} \vee y_{i,2} \vee y_{i,3}, \quad y_{i,j} \in \{x_1, \dots, x_n, \overline{x_1}, \dots, \overline{x_n}\}$$

Konstruiere Baum $T(F)$, der genau dann Layout mit Breite $W \leq 24$ hat, wenn F erfüllbar ist.

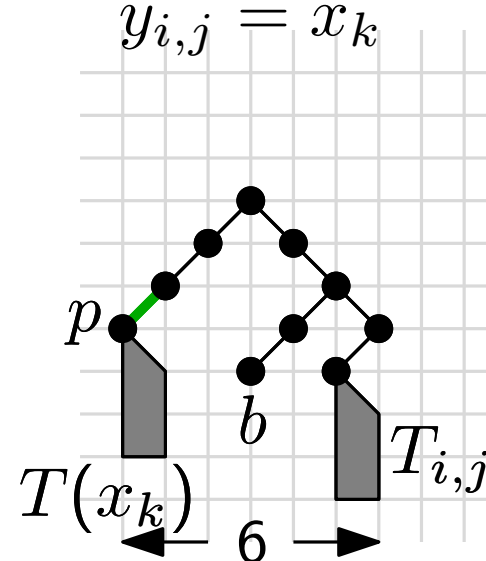
Baum $T(x_k)$ für Var. x_k :



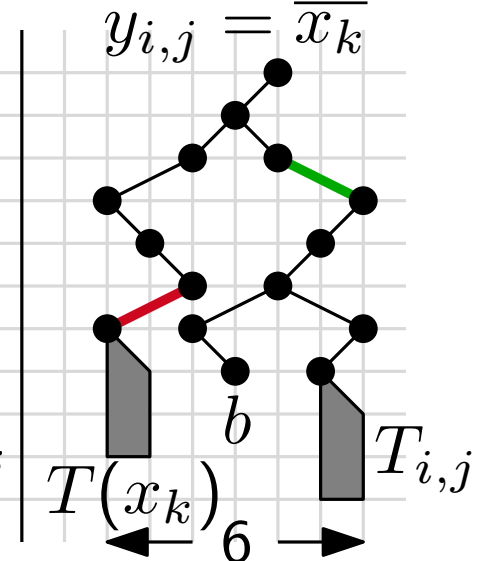
Baum $T_{i,j}$



Literalbaum:

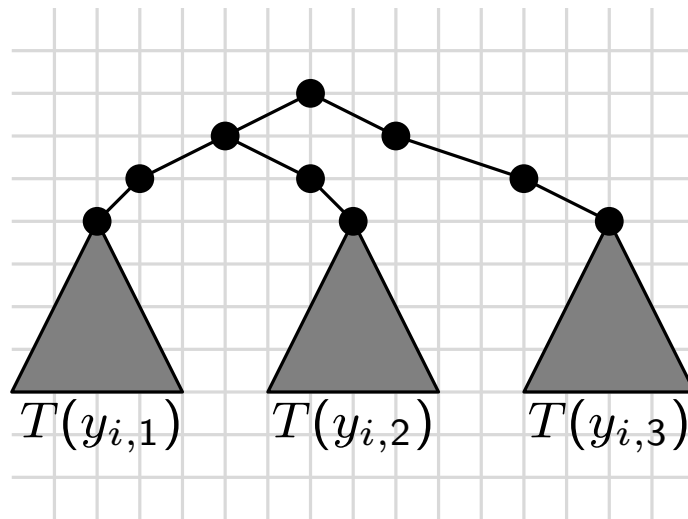


$T(y_{i,j})$ für



Breitenminierung II

Klauselbaum $T(C_i)$:



Erfüllte Klausel hat Breite höchstens

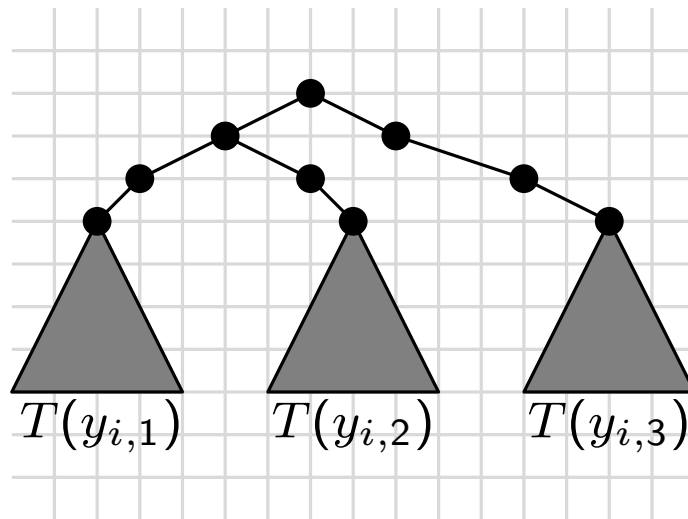
$$6 + 2 + 7 + 2 + 7 = 24$$

Beachte: alle Literalbäume haben volle Breite auf vierter Ebene von oben

Nicht erfüllte Klausel: $7+2+7+2+7 = 25$

Breitenminierung II

Klauselbaum $T(C_i)$:



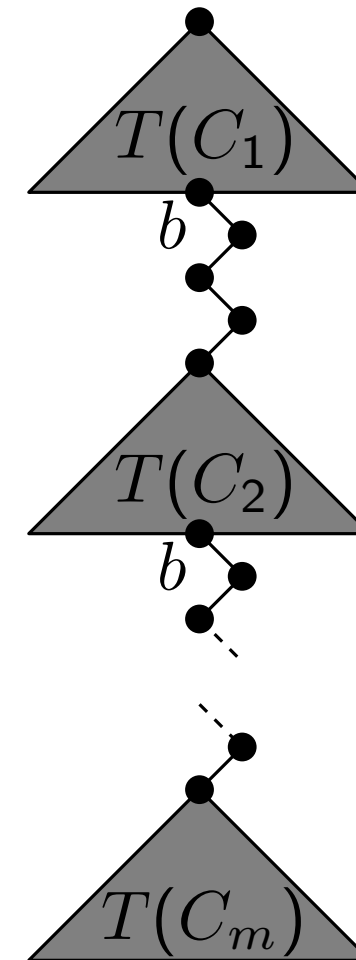
Erfüllte Klausel hat Breite höchstens

$$6 + 2 + 7 + 2 + 7 = 24$$

Beachte: alle Literalbäume haben volle Breite auf vierter Ebene von oben

Nicht erfüllte Klausel: $7+2+7+2+7 = 25$

Formelbaum $T(F)$



Breite $\leq 24 \Leftrightarrow F$ erfüllbar

HV-Bäume

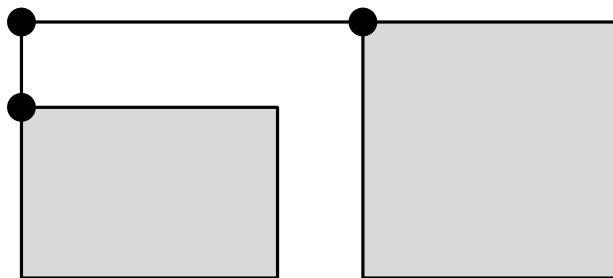
Idee:

- Zeichne Teilbäume in Rechtecke, Wurzel liegt in linker oberer Ecke
- Nachfolger liegen vertikal unterhalb bzw. horizontal rechts

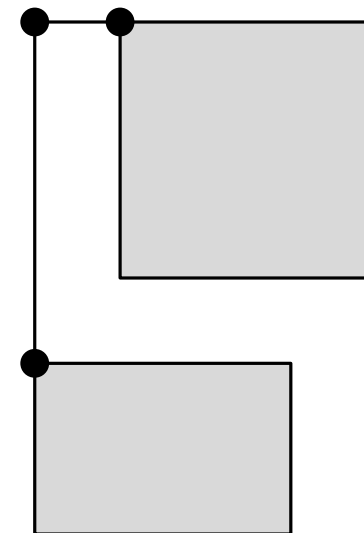
Induktionsanfang:



Induktionsschritt: kombiniere Layouts



horizontale Kombination
(Fläche: 3×7)



vertikale Kombination
(Fläche: 4×6)

Berechne optimale Zeichnung mit dynamischer Programmierung

Rechtslastige hv-Layouts

Rechtslastiges hv-Layout:

- Wähle in jedem Schritt Horizontal-Kombination
- Platziere größeren Teilbaum rechts

Lemma

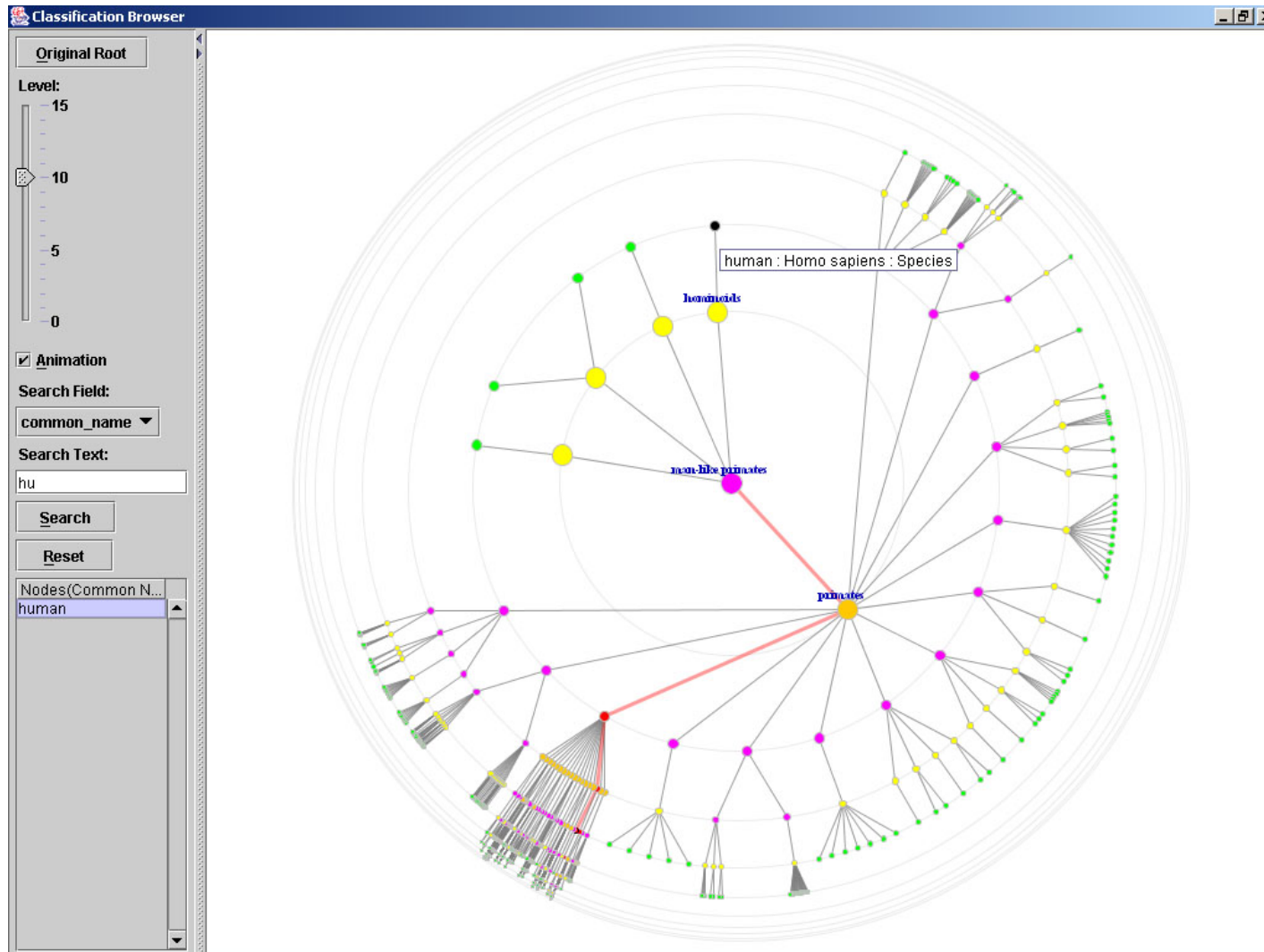
Höhe eines rechtslastigen hv-Layouts für Baum mit n Knoten ist höchstens $\log n$.

Beweis:

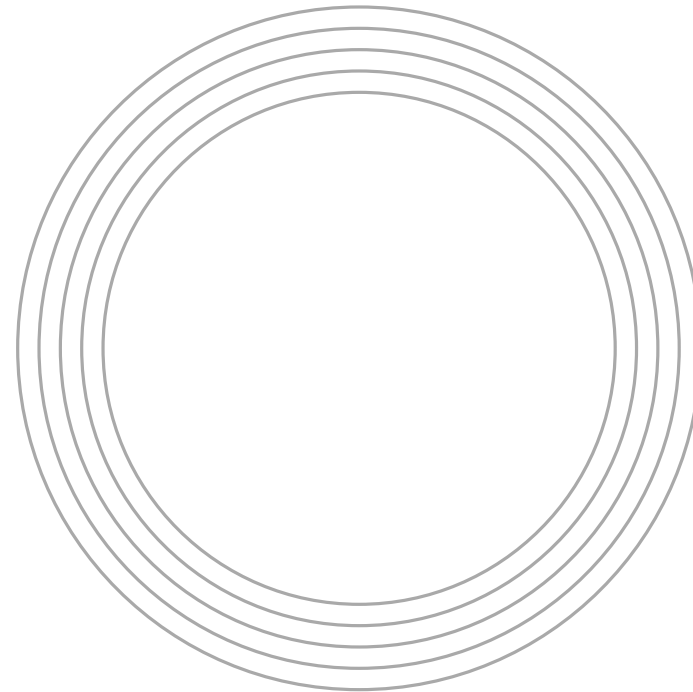
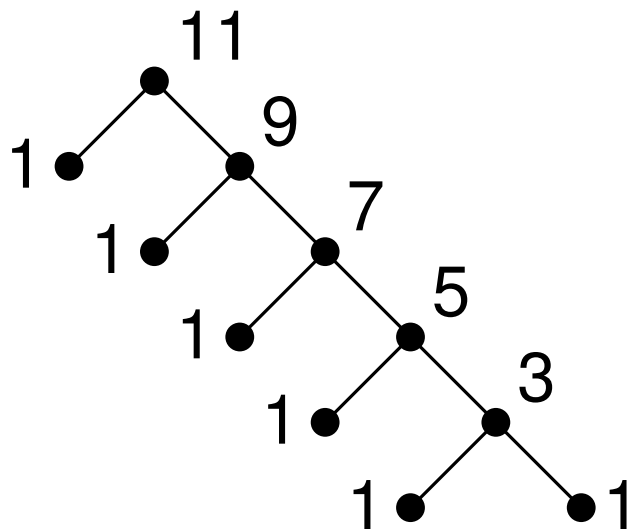
- Vertikale Kanten haben Länge 1
- w Knoten mit minimaler y -Koordinate
- betrachte eindeutigen Pfad P zur Wurzel
- für jede vertikale Kante (u, v) auf P : $|T(v)| > |2T(u)|$
- $\Rightarrow P$ enthält höchstens $\log n$ solcher Kanten

Platzbedarf: $O(n \log n)$

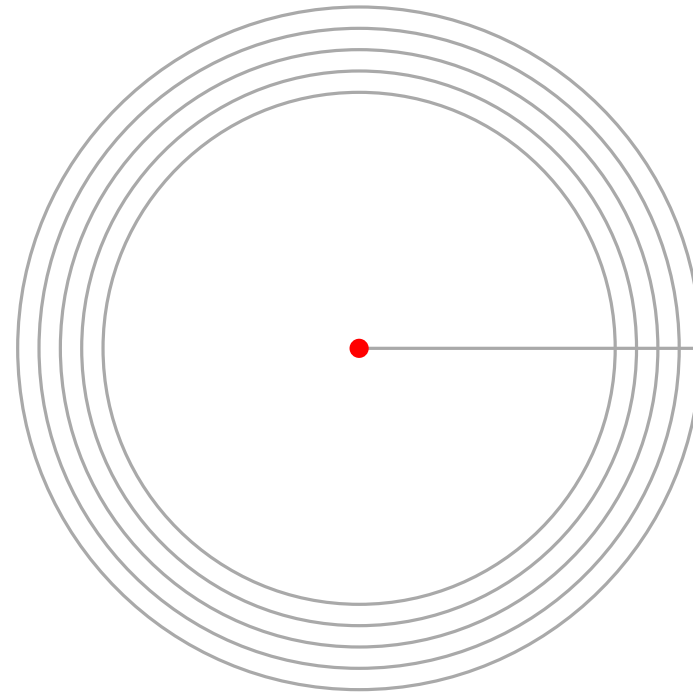
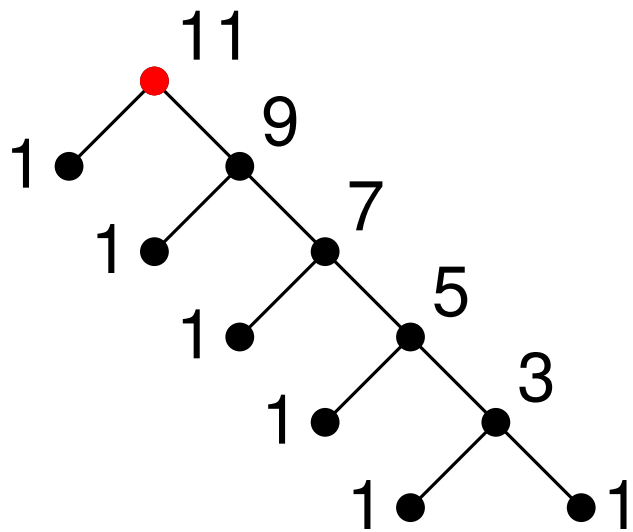
Radiale Baumlayouts



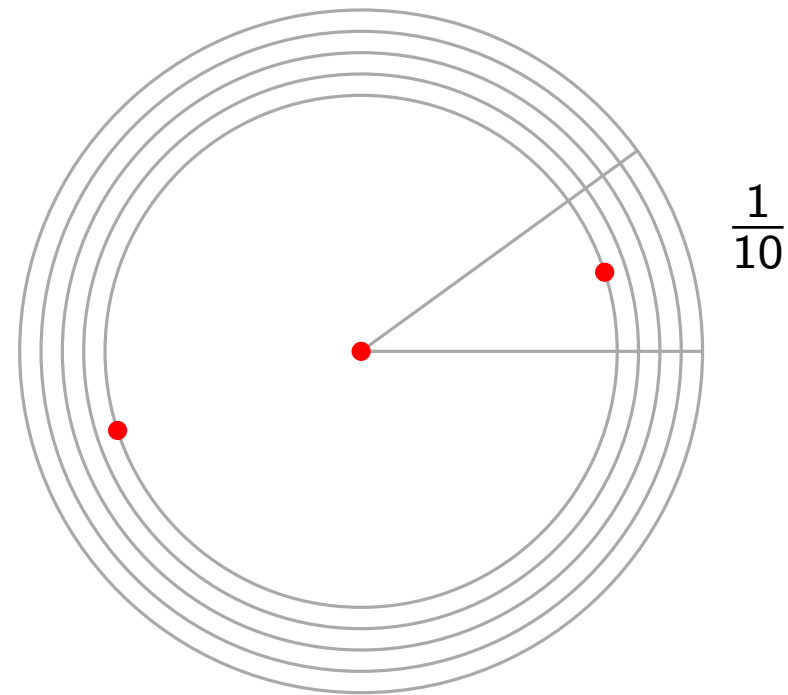
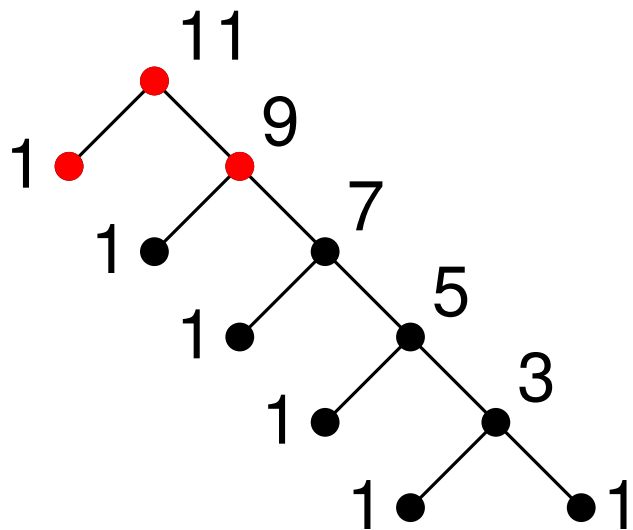
Beispiel Radiallayout



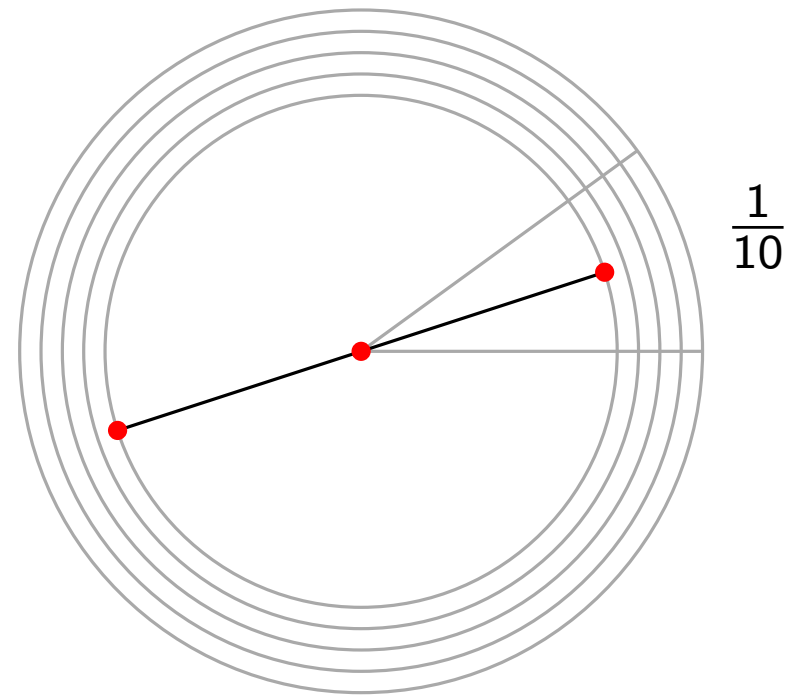
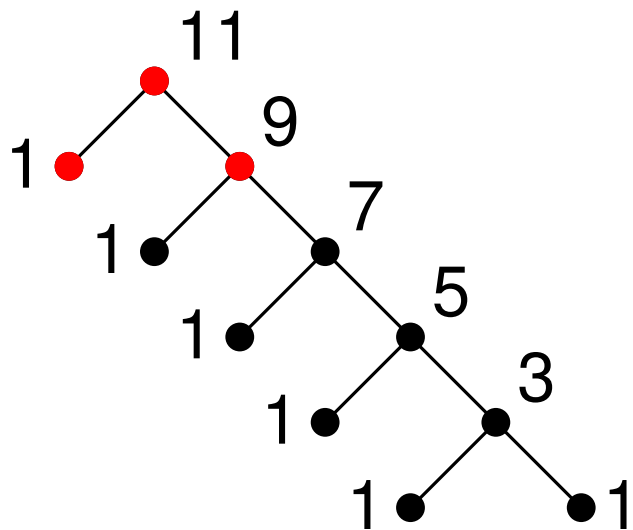
Beispiel Radiallayout



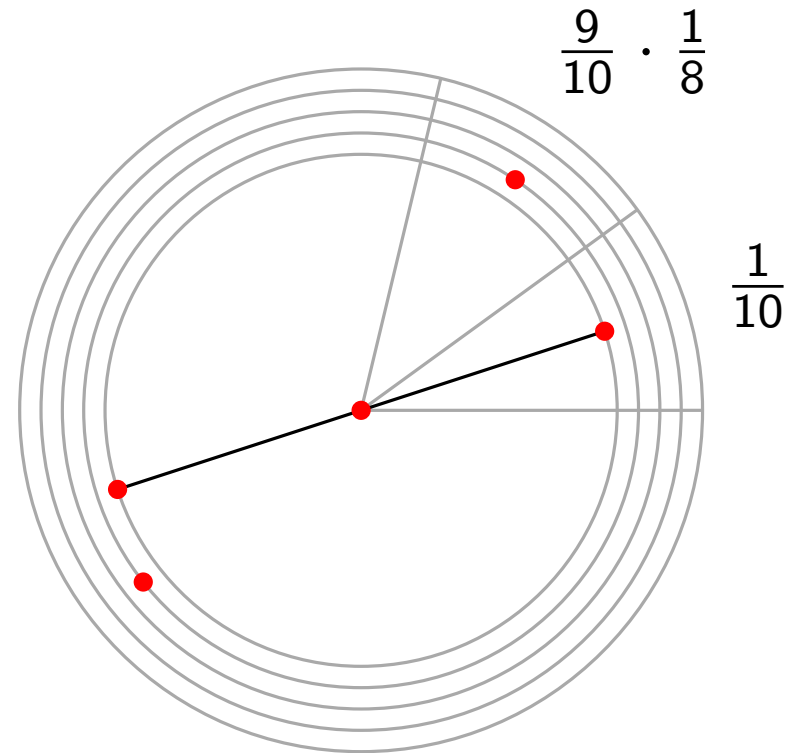
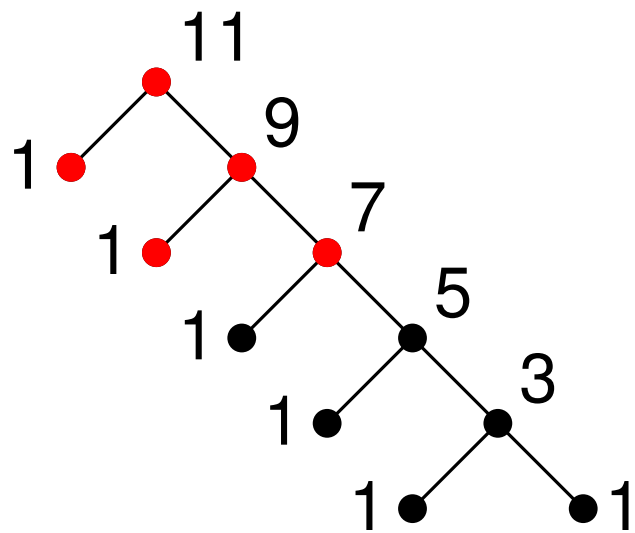
Beispiel Radiallayout



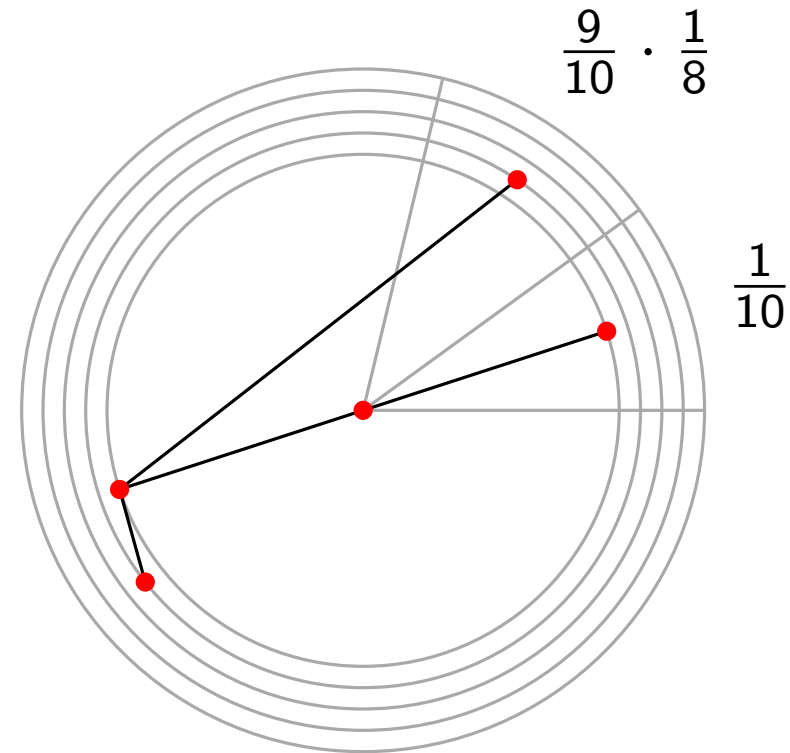
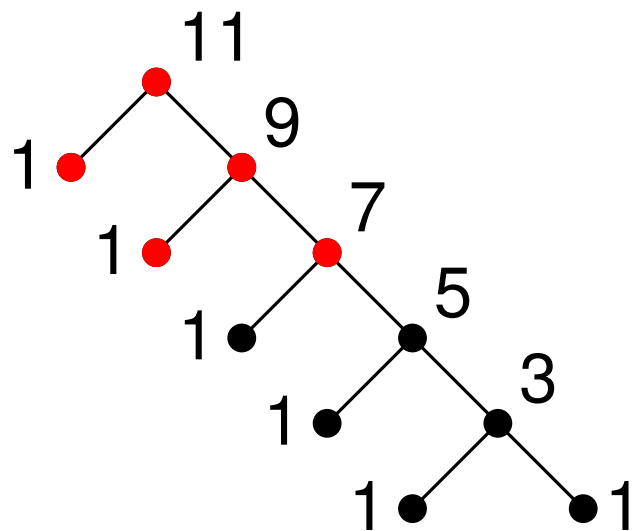
Beispiel Radiallayout



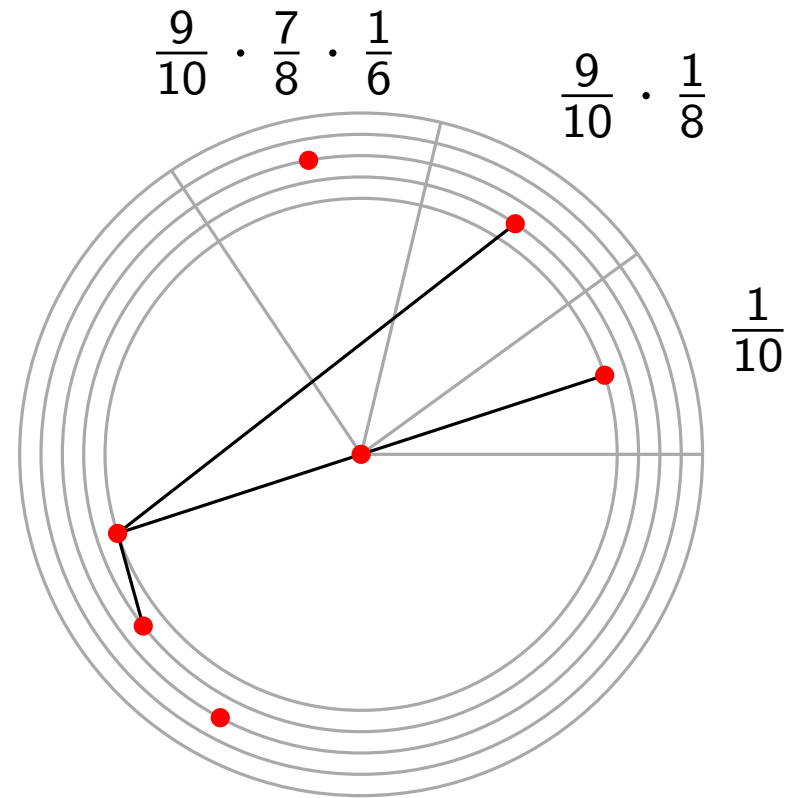
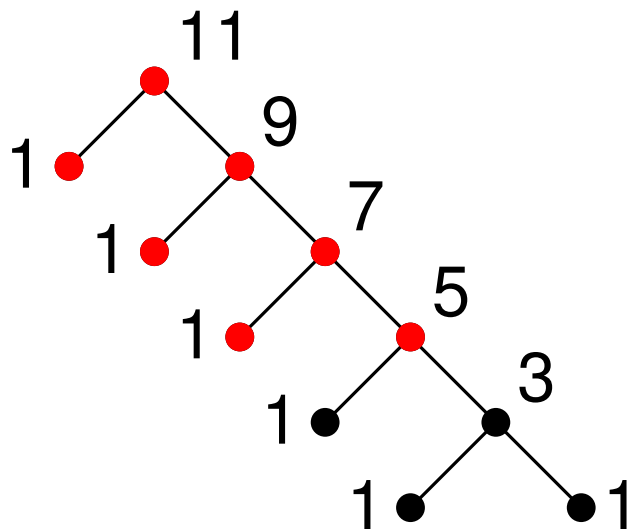
Beispiel Radiallayout



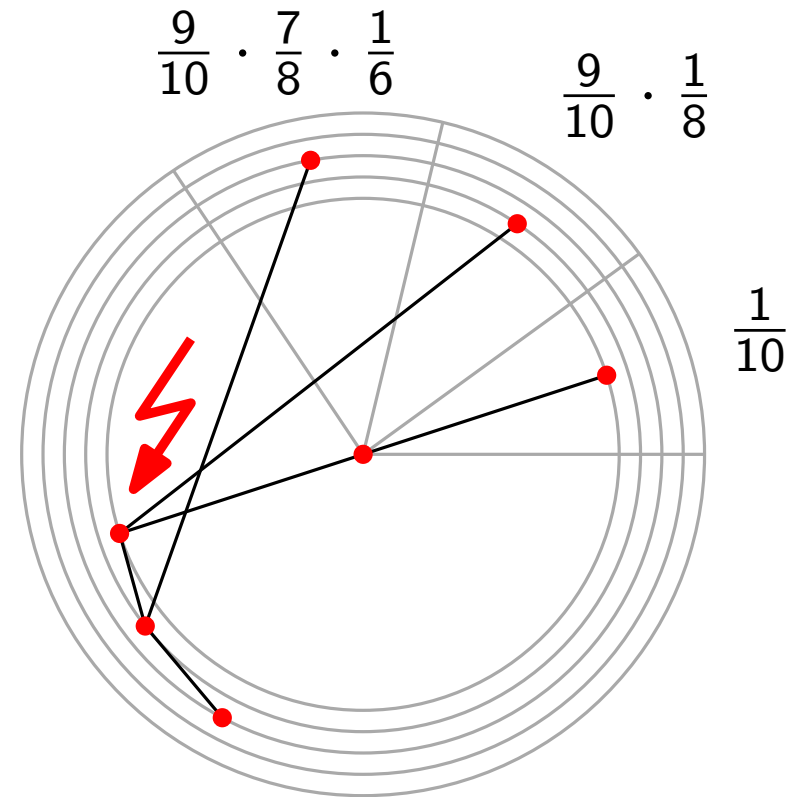
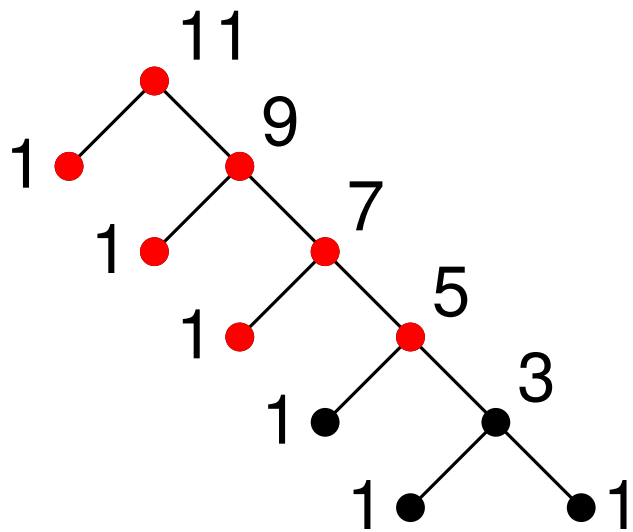
Beispiel Radiallayout



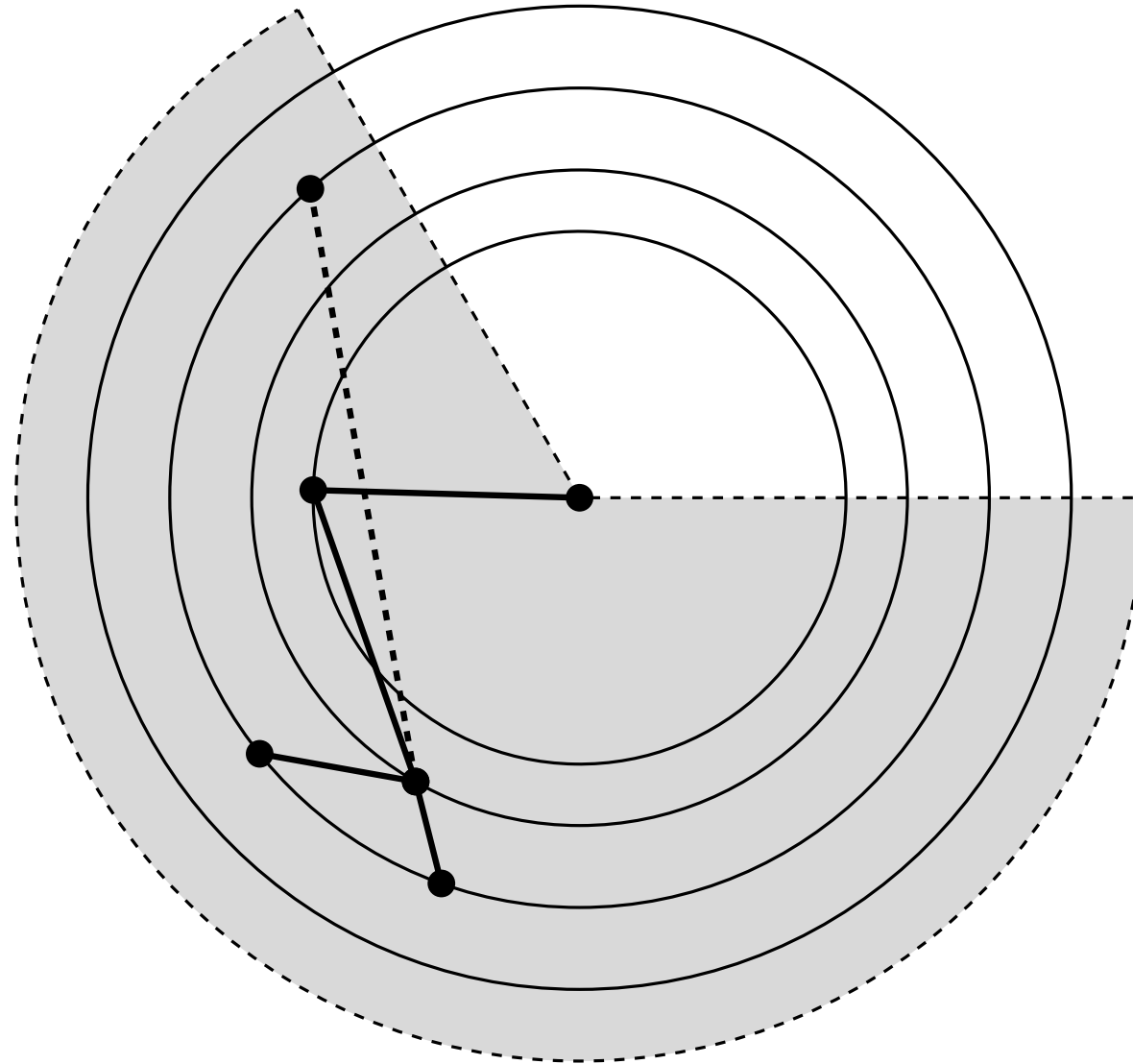
Beispiel Radiallayout



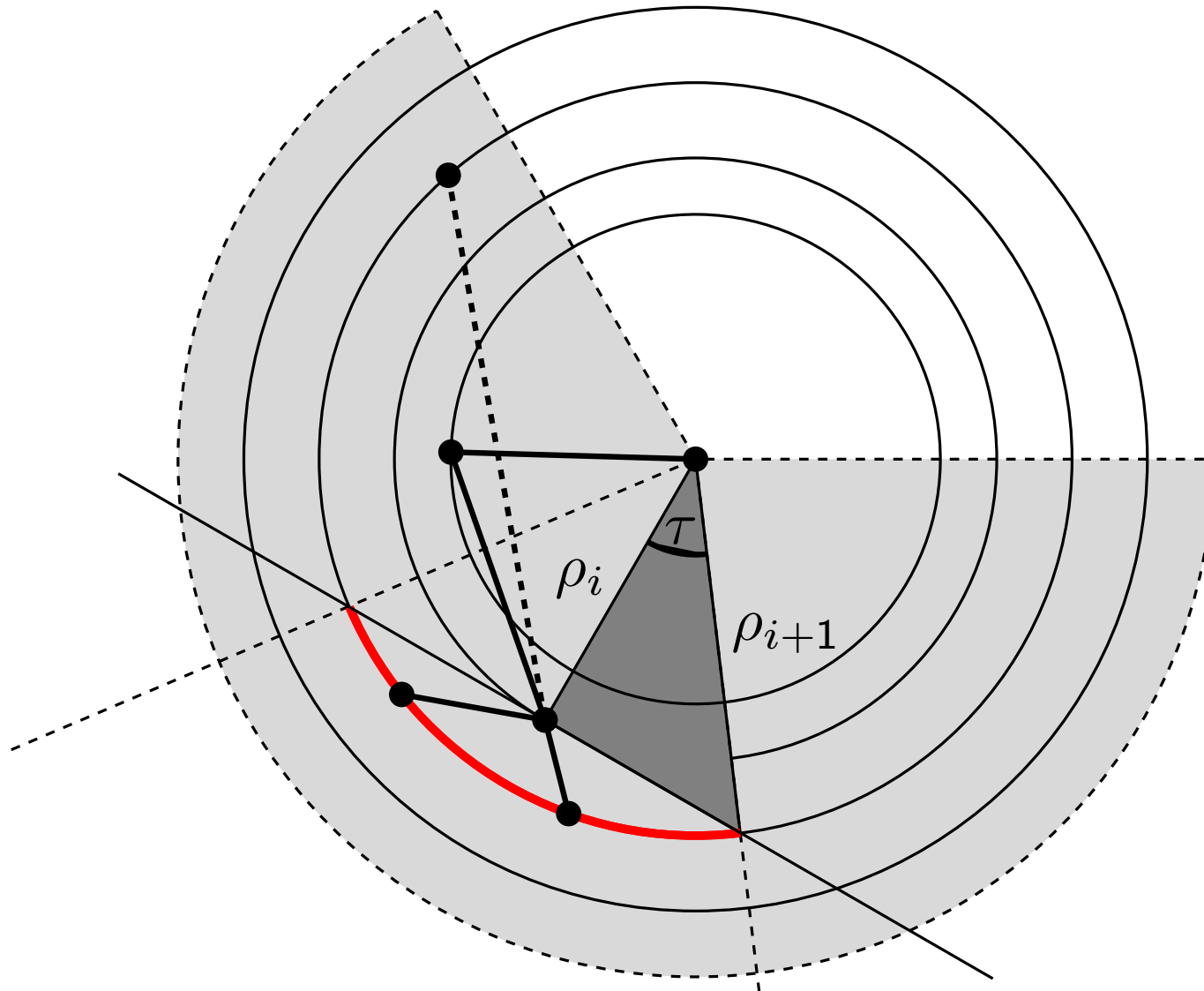
Beispiel Radiallayout



Verlassen des Kreisringsektors

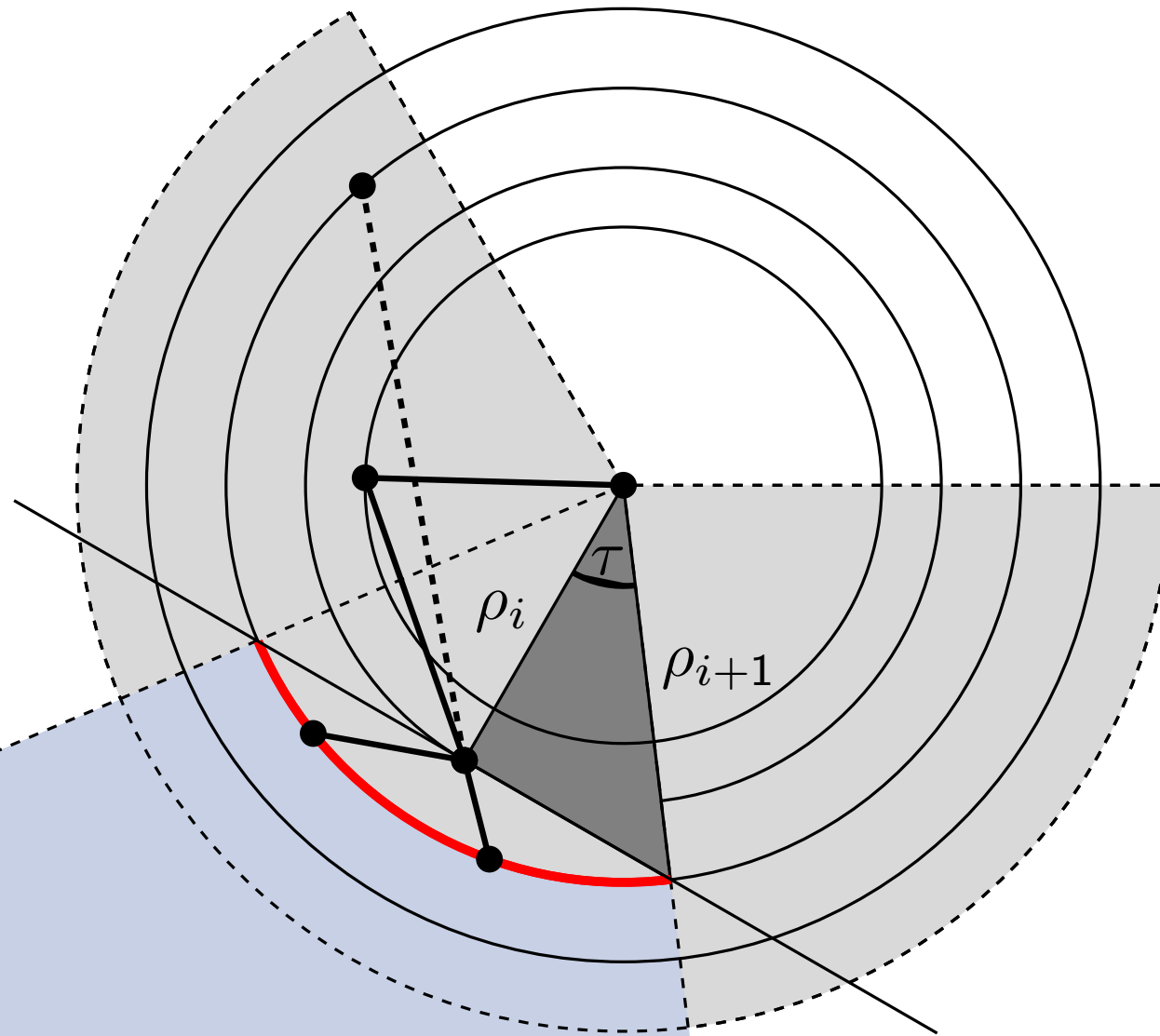


Verlassen des Kreisringsektors



$$\cos \tau = \frac{\rho_i}{\rho_{i+1}}$$

Verlassen des Kreisringsektors



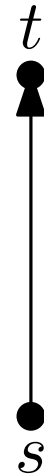
$$\cos \tau = \frac{\rho_i}{\rho_{i+1}}$$

Serien-parallele Graphen

Serien-parallele Graphen

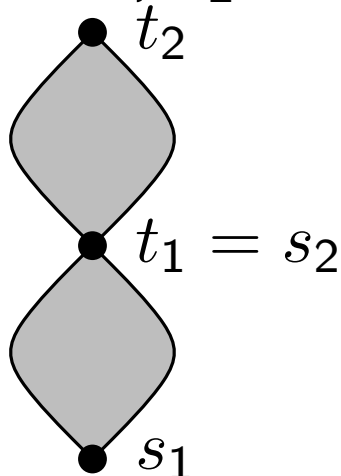
Graph G heißt **serien-parallel**, wenn er

- aus genau zwei Knoten (Quelle s , Senke t sowie der Kante (s, t) besteht oder
- aus zwei serien-parallelen Graphen G_1, G_2 mit Quellen s_1, s_2 und Senken t_1, t_2 durch eine der folgenden Kombinationen hervorgeht



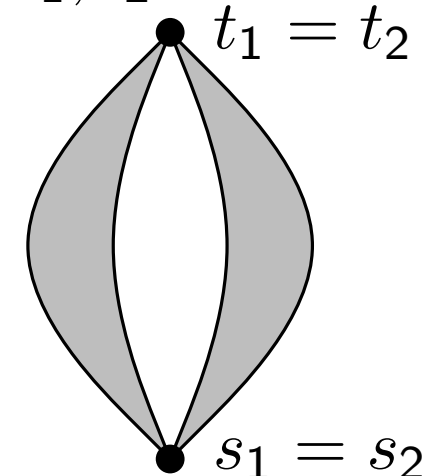
serielle Komposition:

Identifiziere t_1 und s_2 ,
 s_1 neue Quelle, t_2 neue Senke



parallele Komposition:

Identifiziere s_1, s_2 als neue Quelle
Identifiziere t_1, t_2 als neue Senke



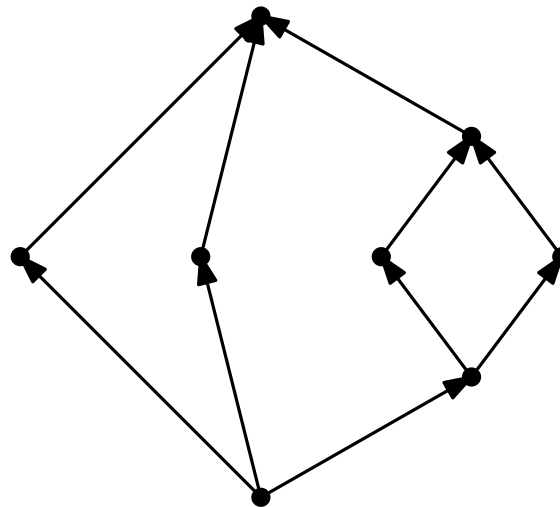
Lemma

Serien-parallele Graphen sind azyklisch und planar.

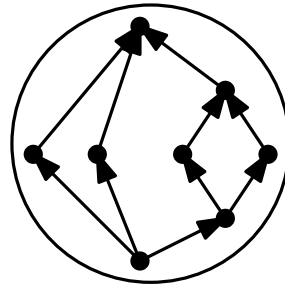
Beschreibung des rekursiven Aufbaus durch binären Baum:

- Blätter sind Kanten (Q-Knoten)
- Innere Knoten sind S- oder P-Knoten

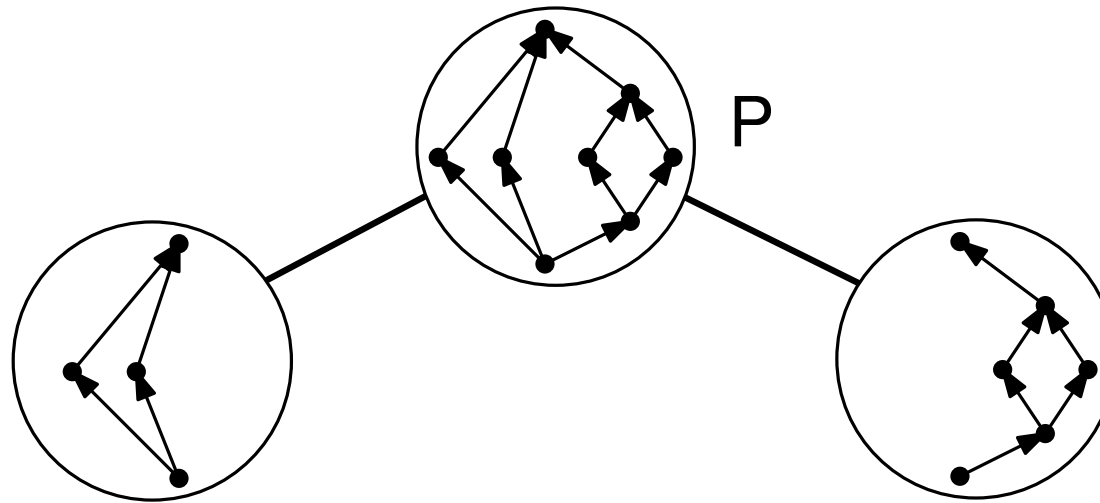
(vgl. SPQR-Baum)



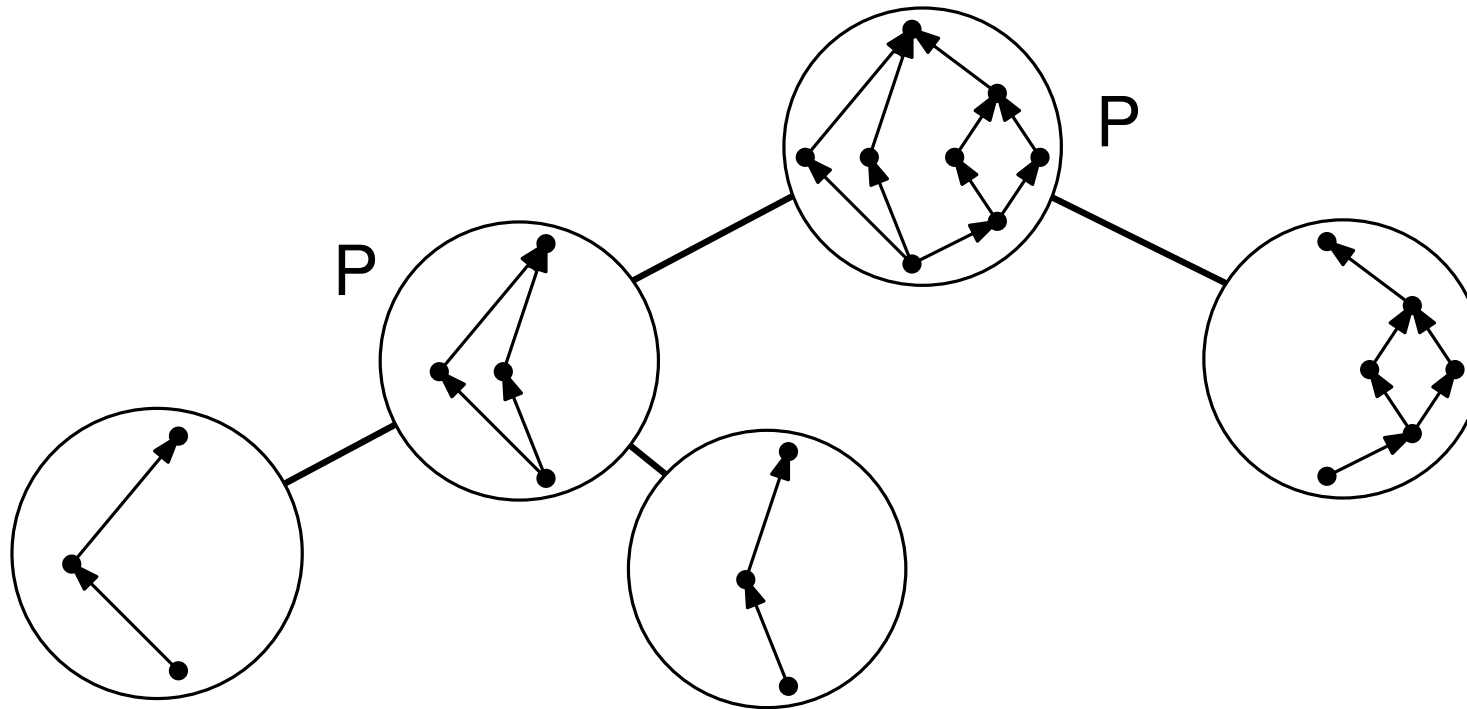
Serienparallele Graphen: Dekompositionsbaum



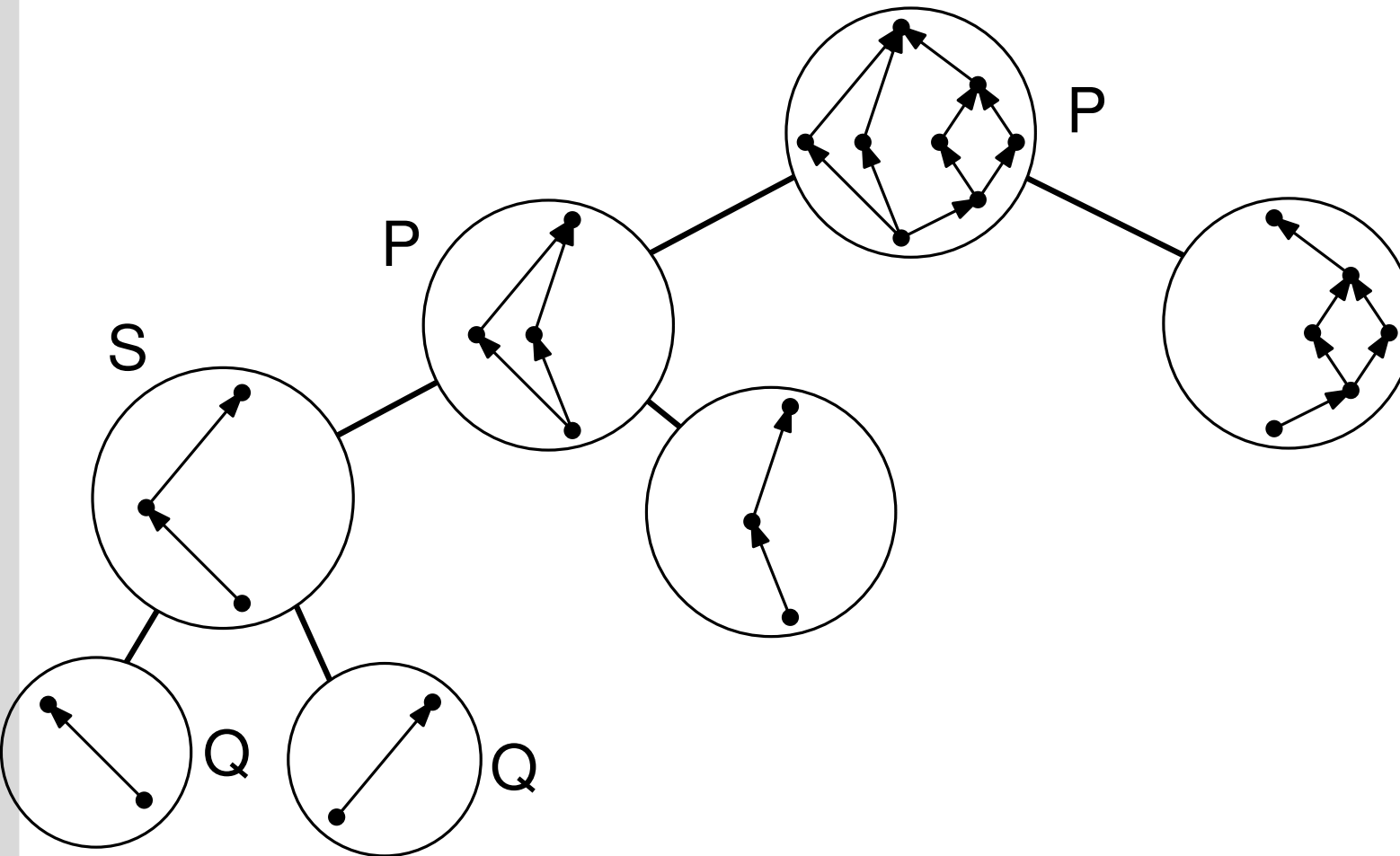
Serienparallele Graphen: Dekompositionsbaum



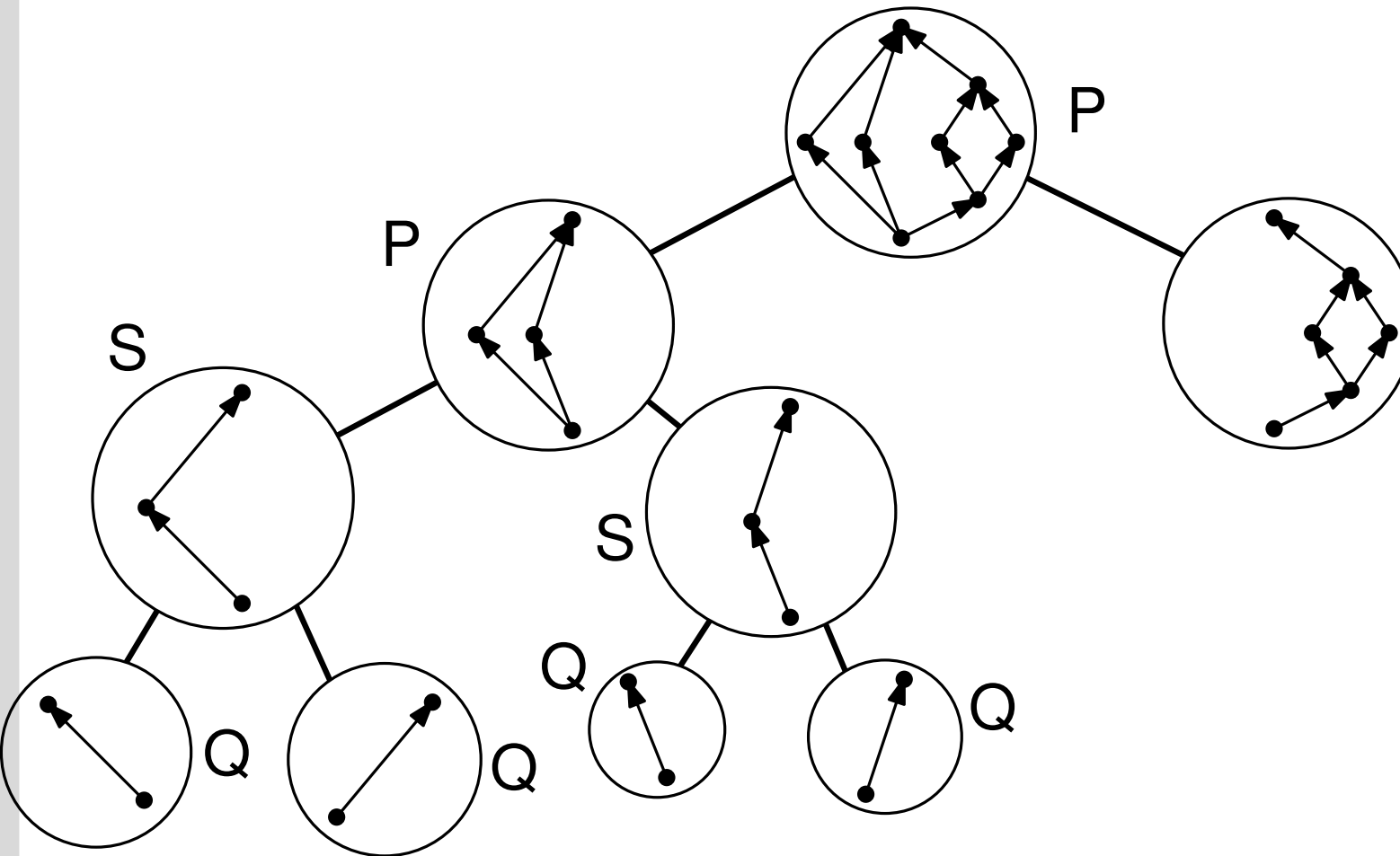
Serienparallele Graphen: Dekompositionsbaum



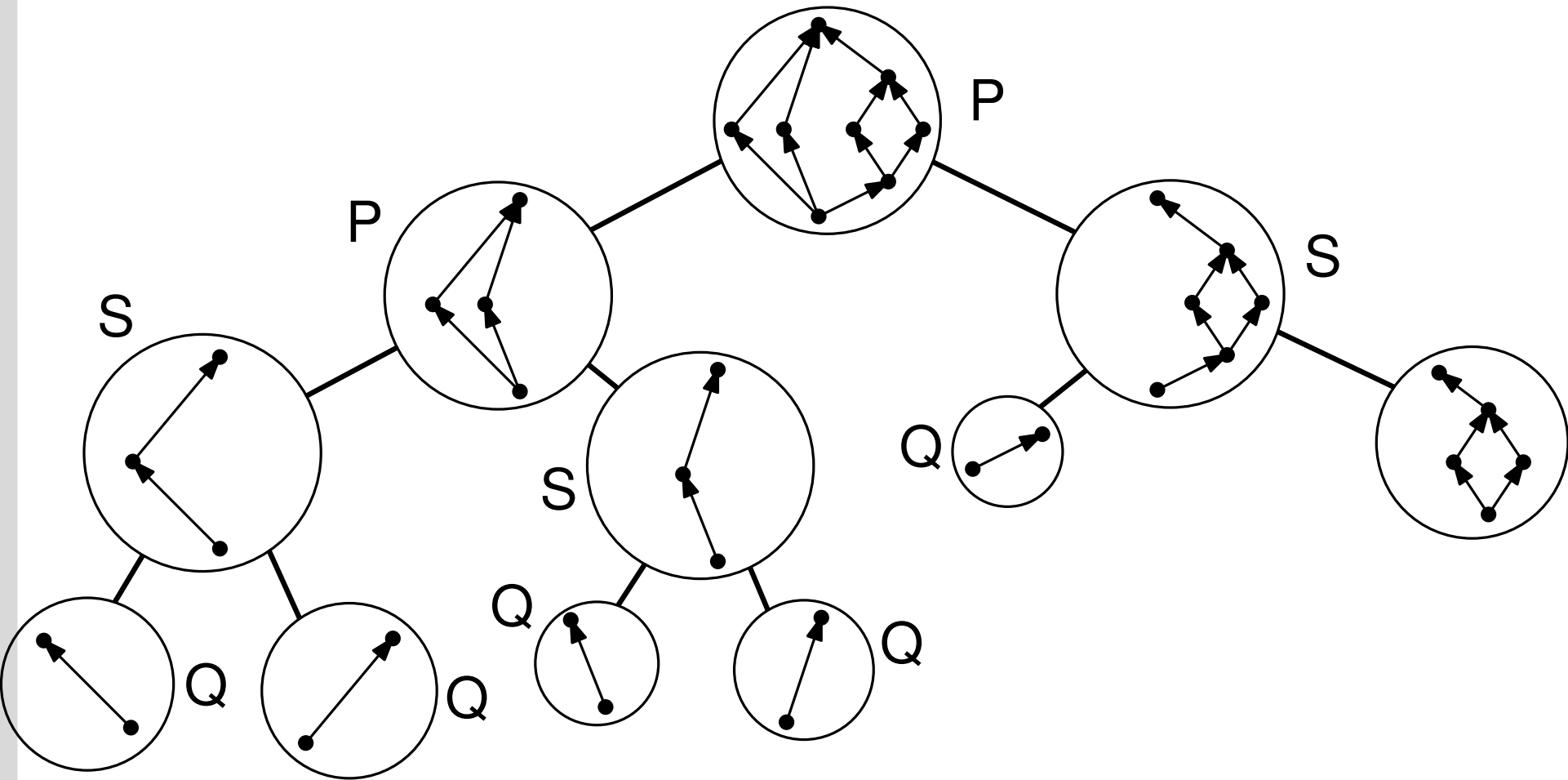
Serienparallele Graphen: Dekompositionsbaum



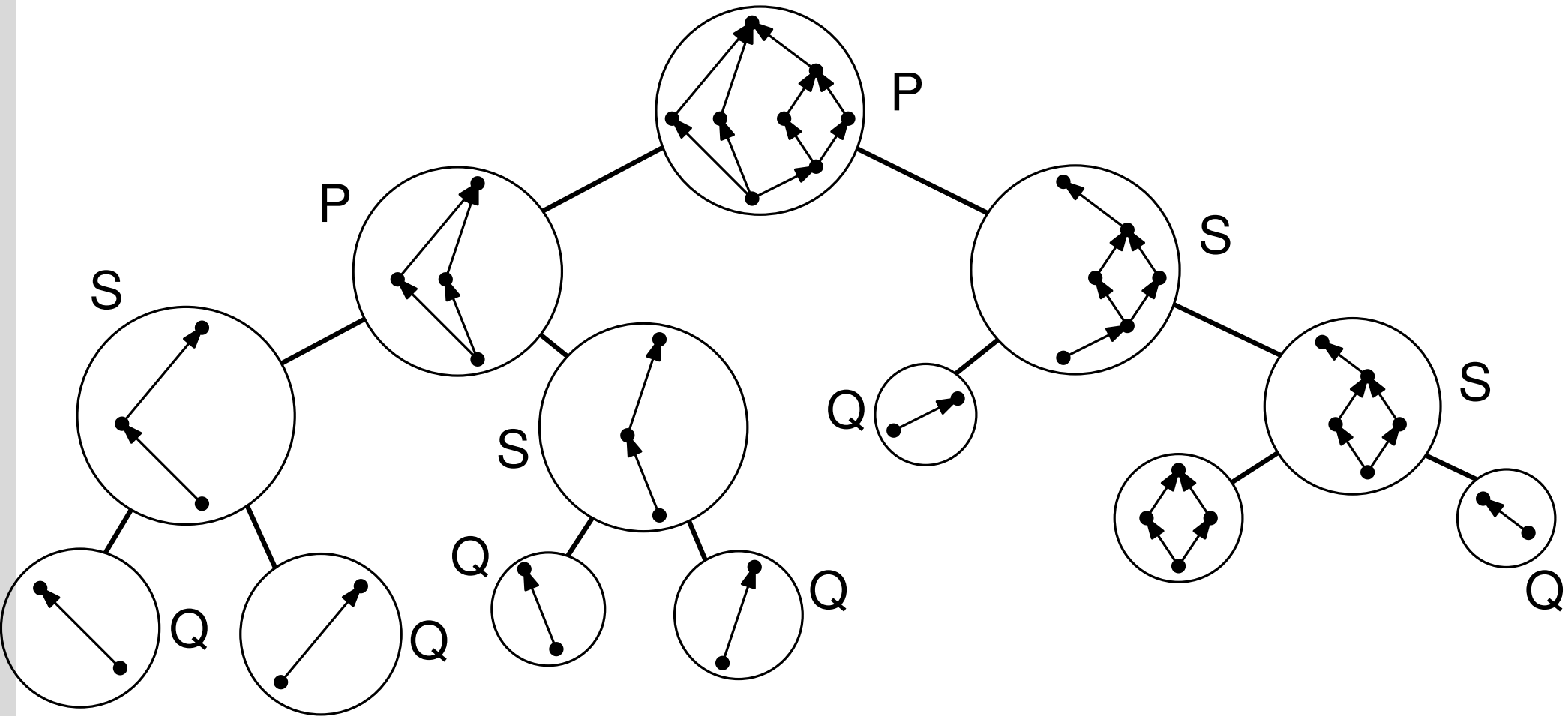
Serienparallele Graphen: Dekompositionsbaum



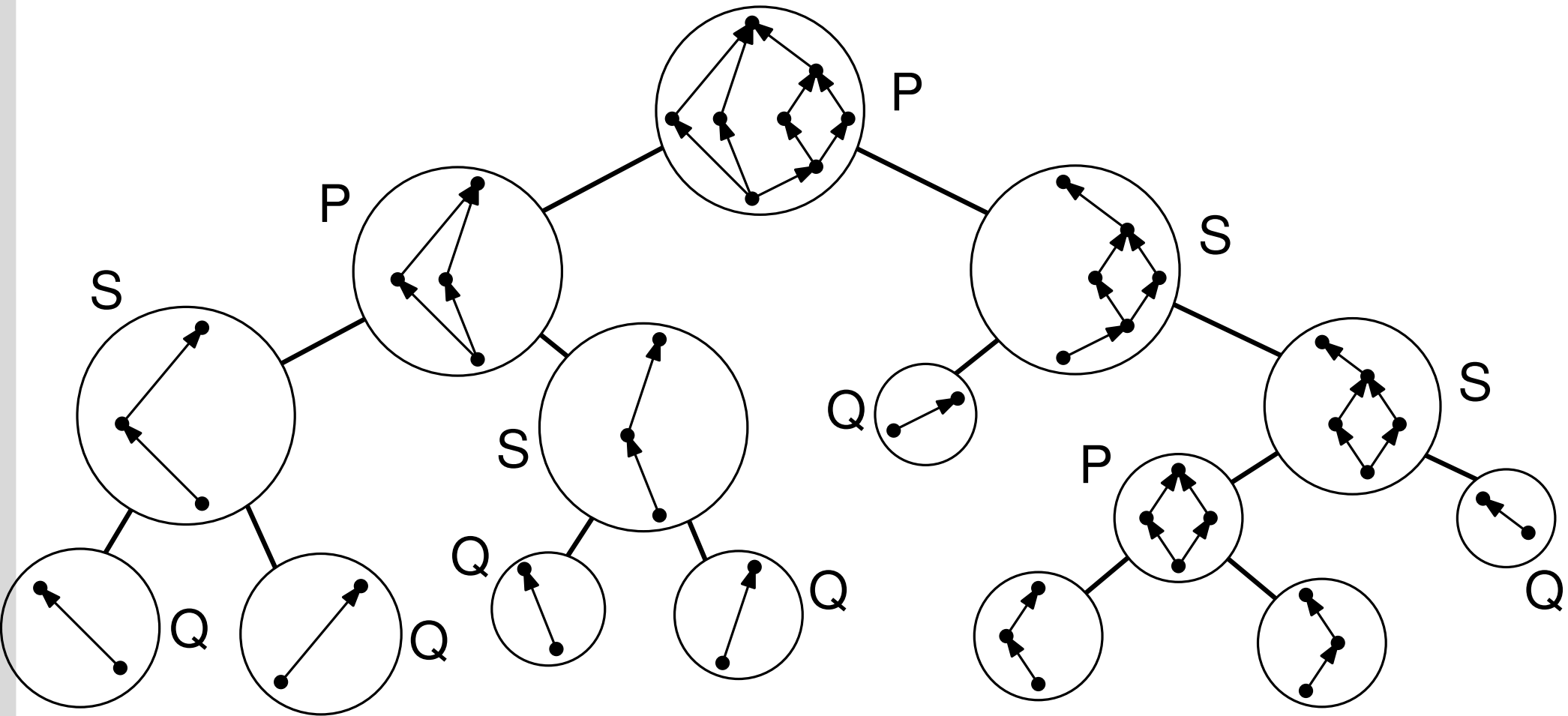
Serienparallele Graphen: Dekompositionsbaum



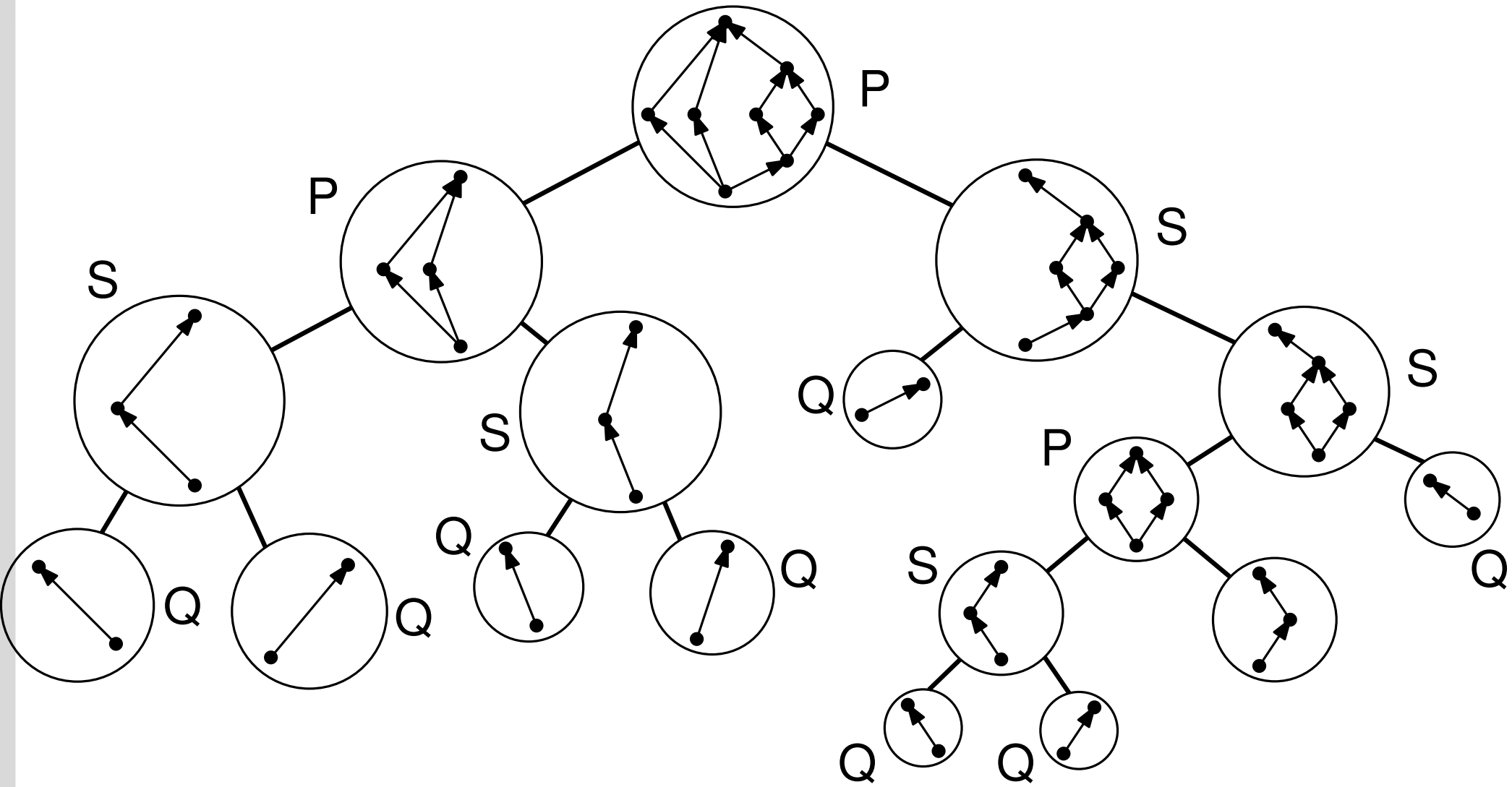
Serienparallele Graphen: Dekompositionsbaum



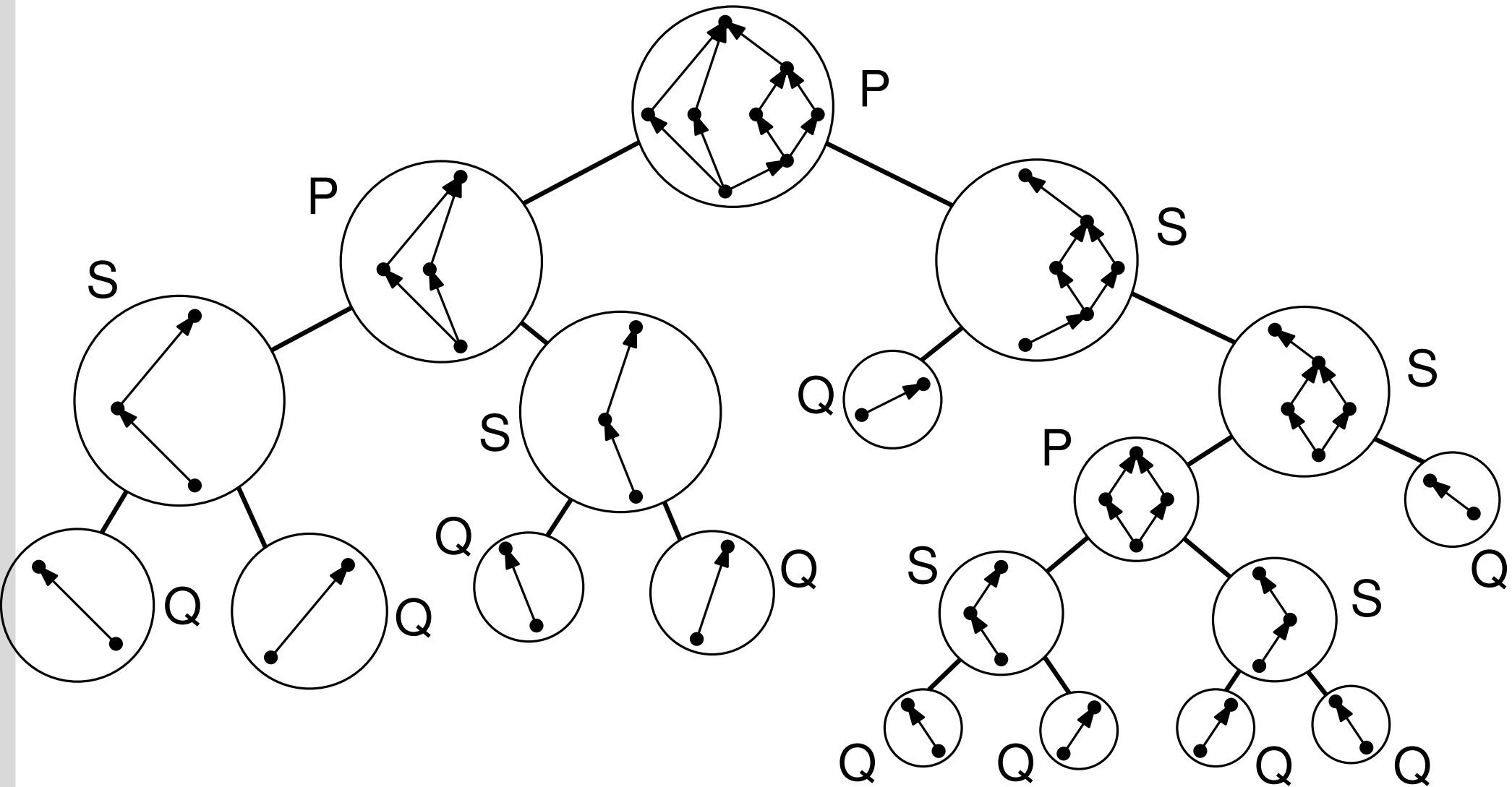
Serienparallele Graphen: Dekompositionsbaum



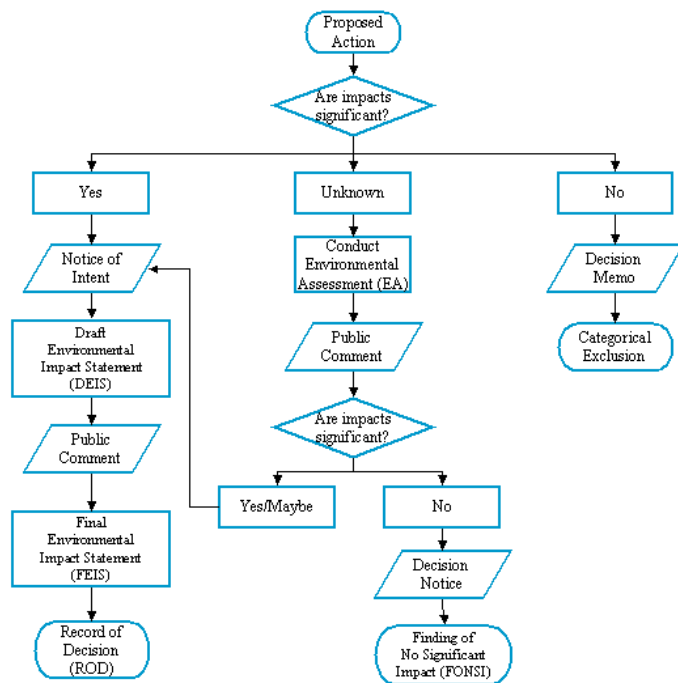
Serienparallele Graphen: Dekompositionsbaum



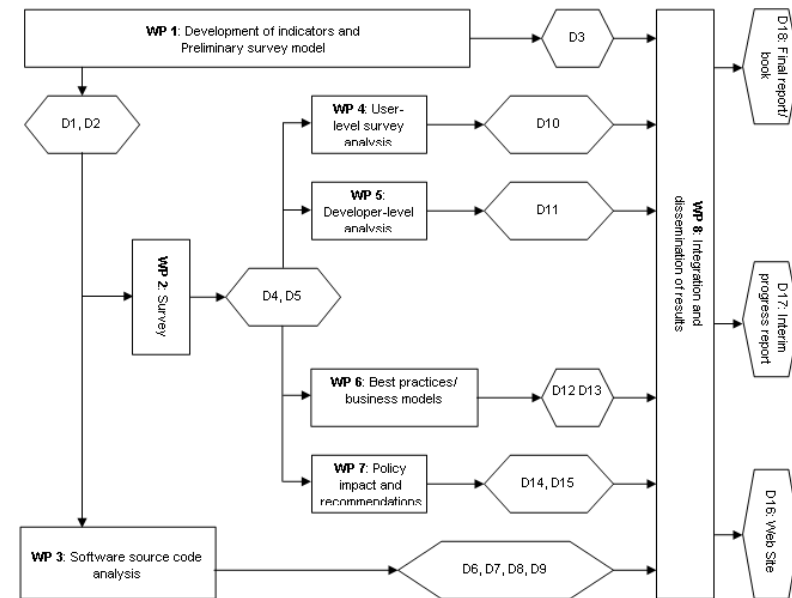
Serienparallele Graphen: Dekompositionsbaum



SP-Graphen in Anwendungen



Ablaufdiagramme



PERT-Diagramme

(Program Evaluation and Review Technique)

Außerdem: Linearzeitalgorithmen für sonst NP-vollständige Probleme (z.B. Maximum Independent Set)

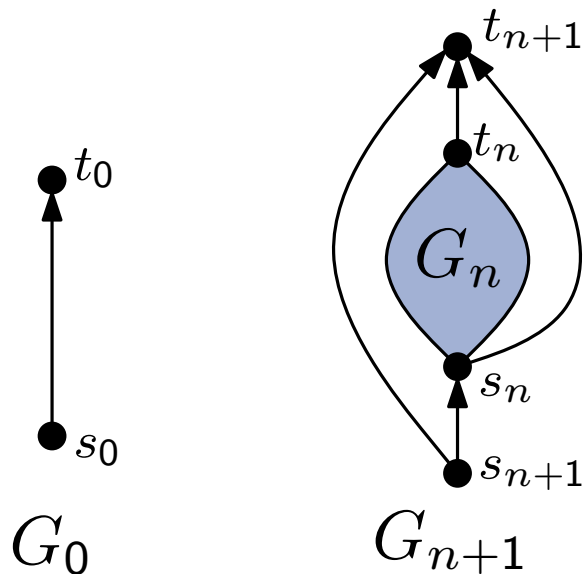
Satz

Jedes kreuzungsfreie Aufwärtlayout für **geordnete** einfache serien-parallele Graphen mit n Knoten benötigt im worst case ein Gitter der Größe $\Omega(4^n)$.

Satz

Jedes kreuzungsfreie Aufwärtslayout für **geordnete** einfache serien-parallele Graphen mit n Knoten benötigt im worst case ein Gitter der Größe $\Omega(4^n)$.

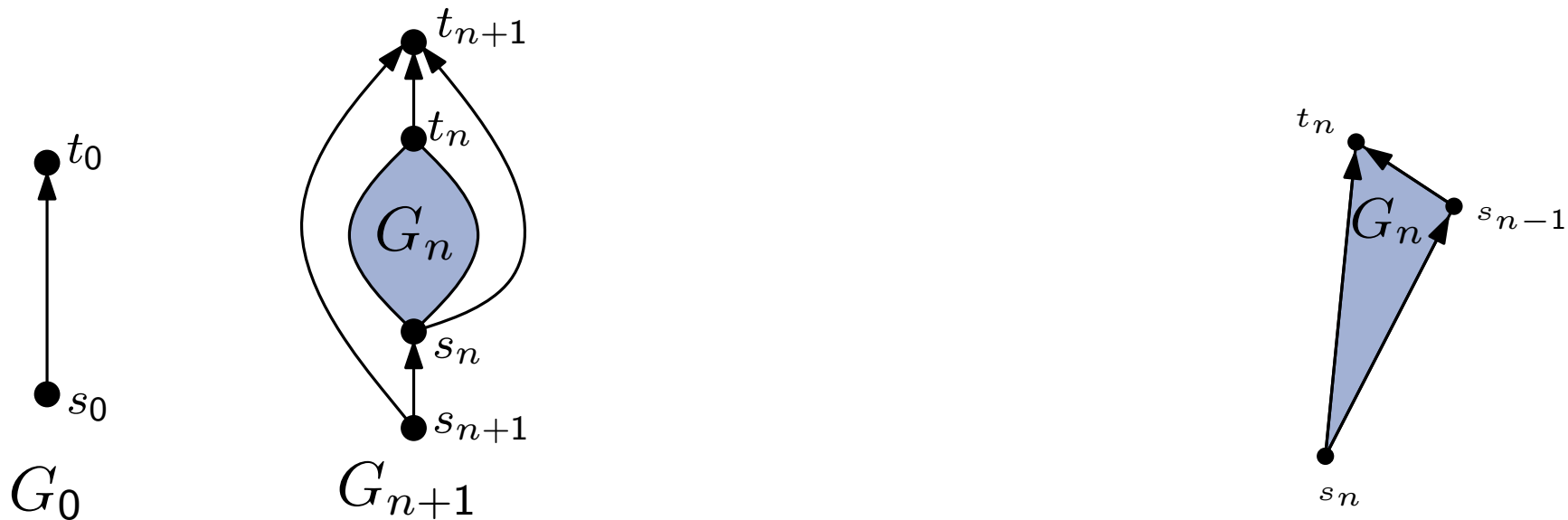
Beweis:



Satz

Jedes kreuzungsfreie Aufwärtlayout für **geordnete** einfache serien-parallele Graphen mit n Knoten benötigt im worst case ein Gitter der Größe $\Omega(4^n)$.

Beweis:

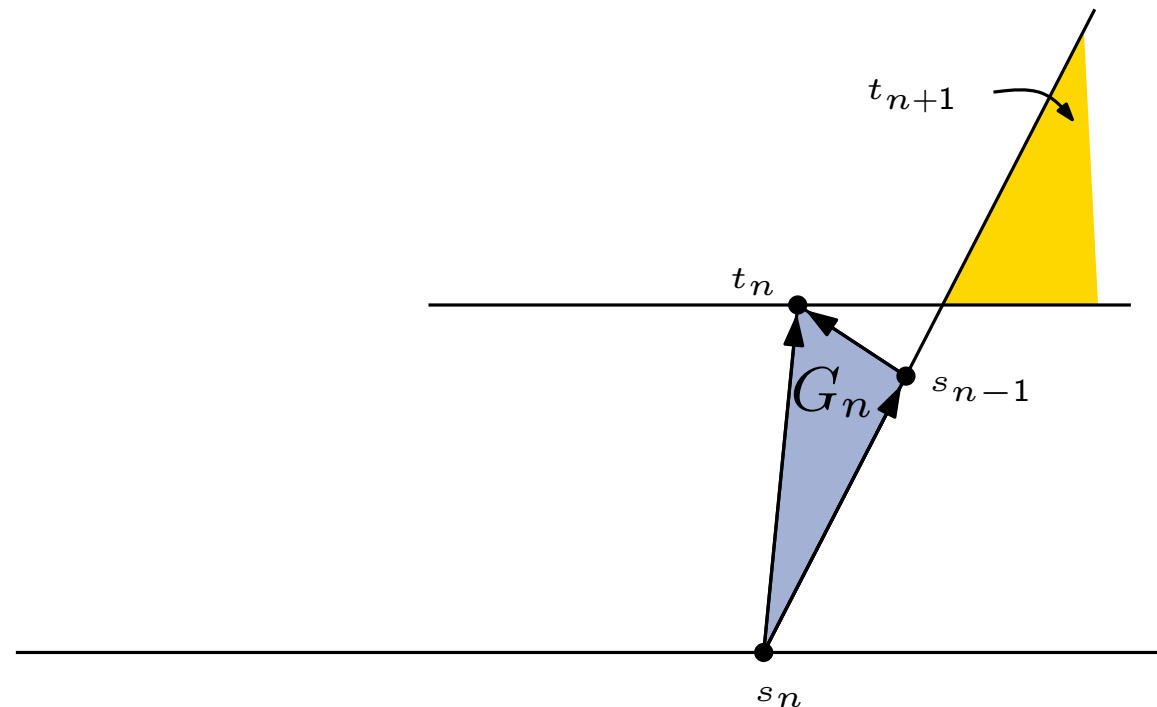
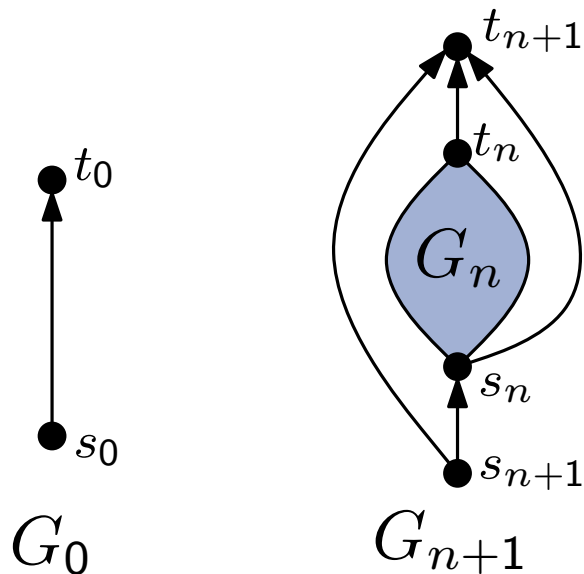


Untere Schranke für die Fläche

Satz

Jedes kreuzungsfreie Aufwärtslayout für **geordnete** einfache serien-parallele Graphen mit n Knoten benötigt im worst case ein Gitter der Größe $\Omega(4^n)$.

Beweis:

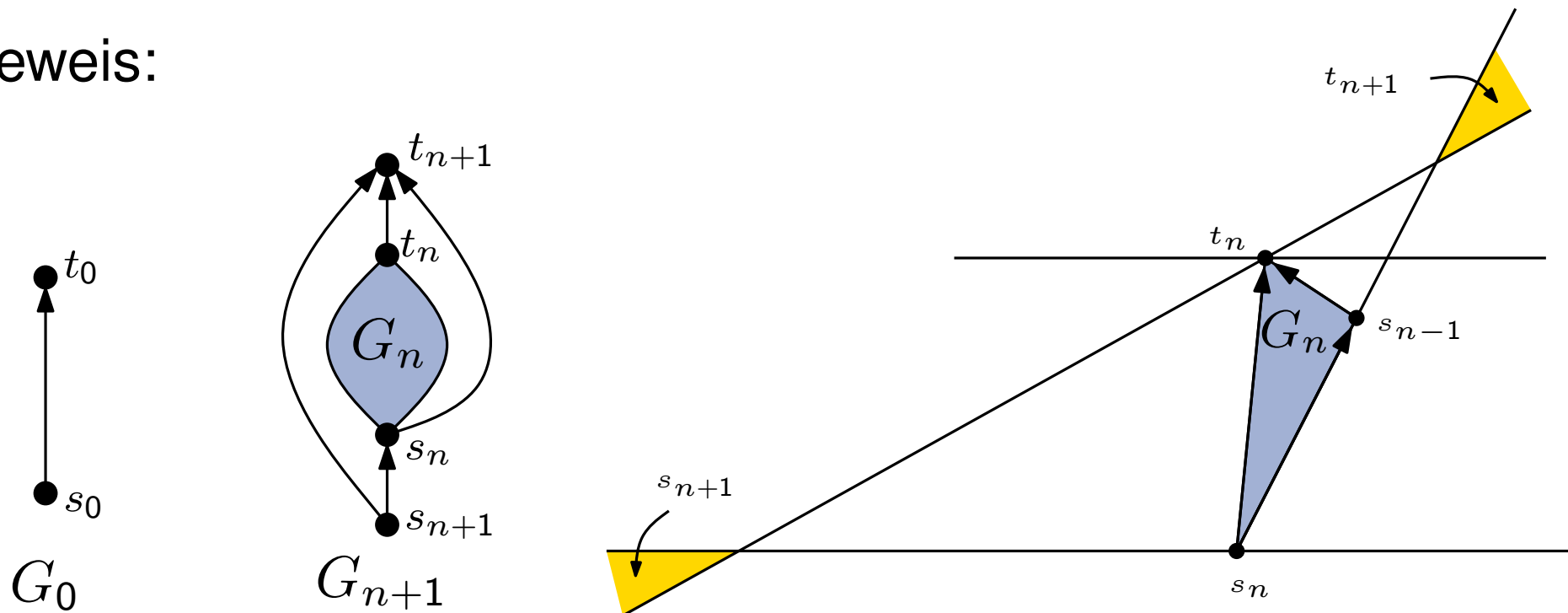


Untere Schranke für die Fläche

Satz

Jedes kreuzungsfreie Aufwärtlayout für **geordnete** einfache serien-parallele Graphen mit n Knoten benötigt im worst case ein Gitter der Größe $\Omega(4^n)$.

Beweis:

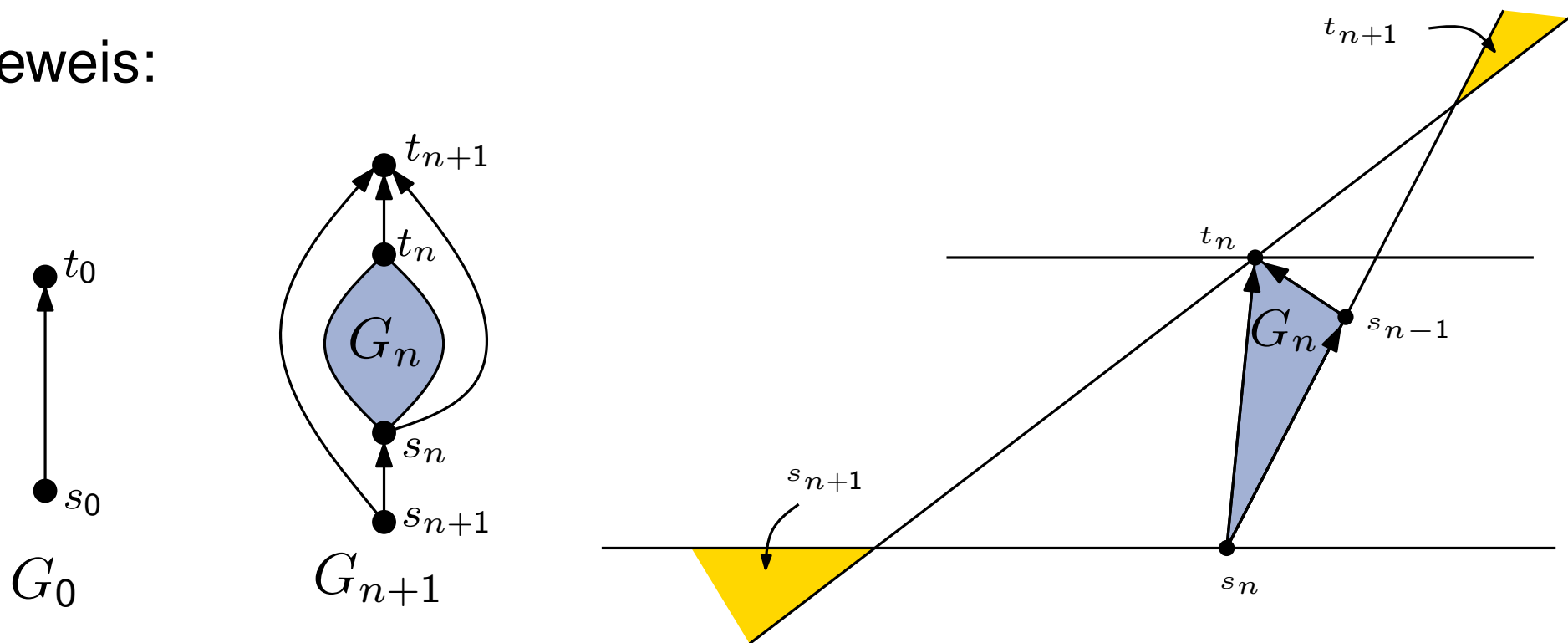


Untere Schranke für die Fläche

Satz

Jedes kreuzungsfreie Aufwärtlayout für **geordnete** einfache serien-parallele Graphen mit n Knoten benötigt im worst case ein Gitter der Größe $\Omega(4^n)$.

Beweis:

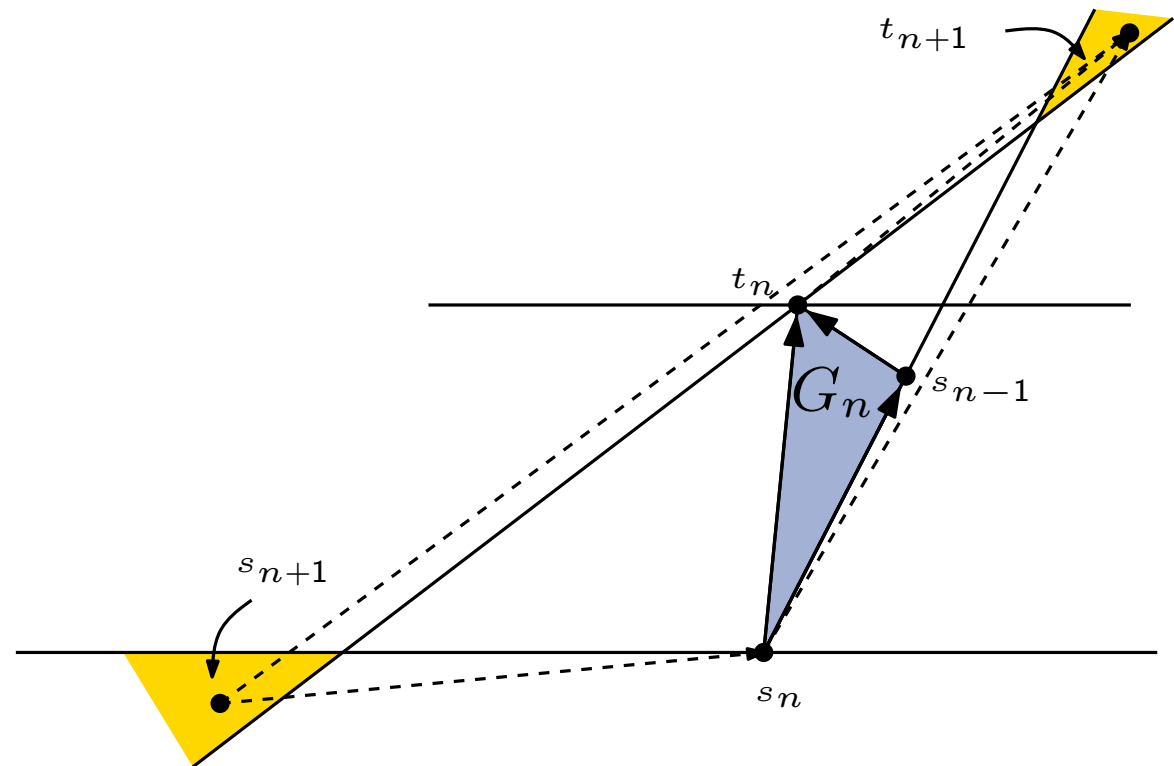
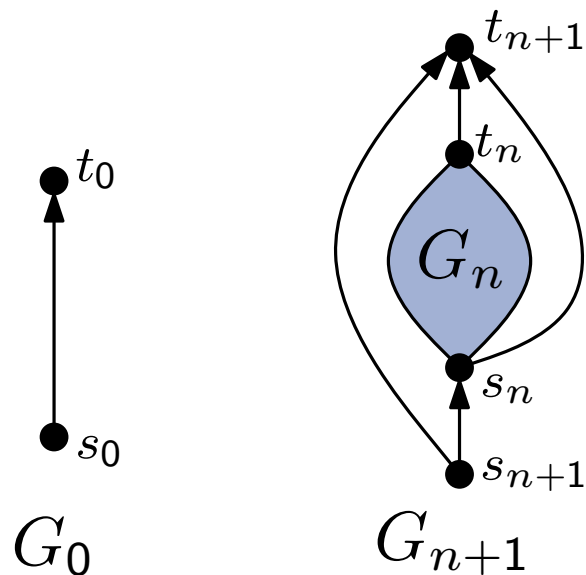


Untere Schranke für die Fläche

Satz

Jedes kreuzungsfreie Aufwärtlayout für **geordnete** einfache serien-parallele Graphen mit n Knoten benötigt im worst case ein Gitter der Größe $\Omega(4^n)$.

Beweis:

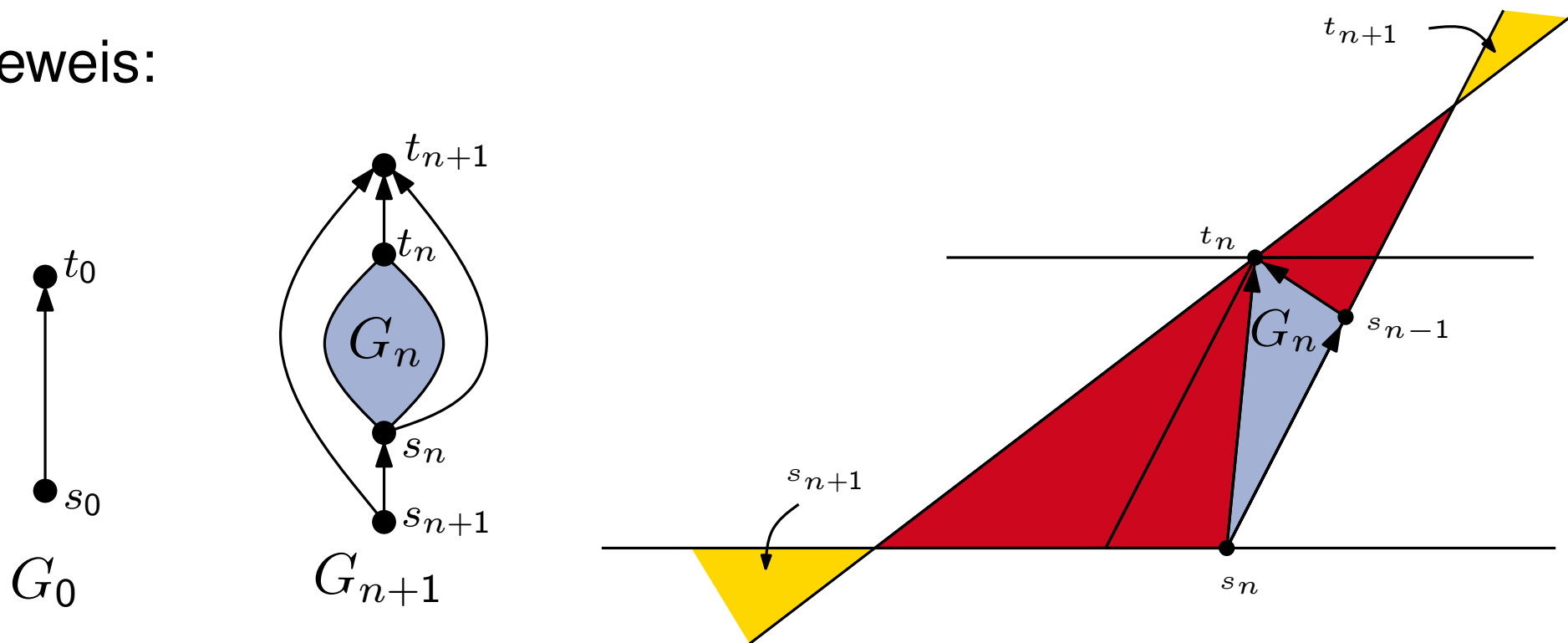


Untere Schranke für die Fläche

Satz

Jedes kreuzungsfreie Aufwärtlayout für **geordnete** einfache serien-parallele Graphen mit n Knoten benötigt im worst case ein Gitter der Größe $\Omega(4^n)$.

Beweis:

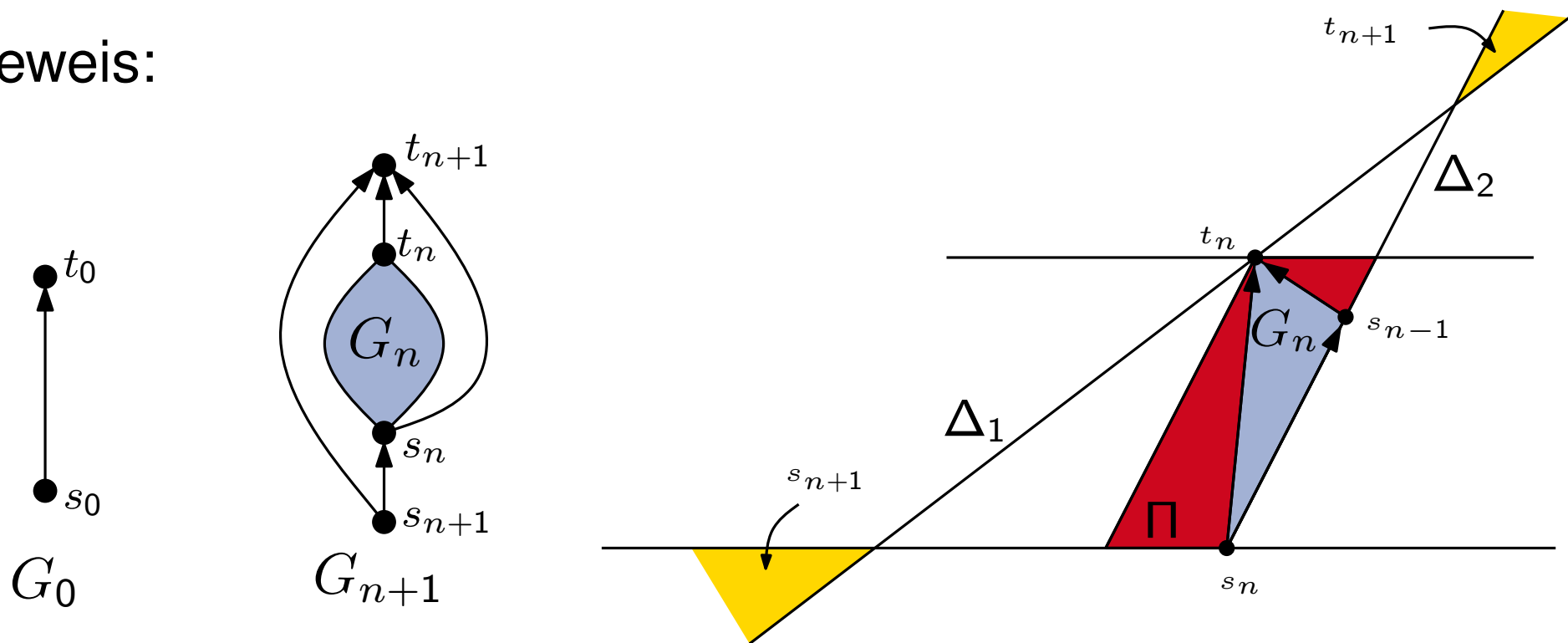


Untere Schranke für die Fläche

Satz

Jedes kreuzungsfreie Aufwärtslayout für **geordnete** einfache serien-parallele Graphen mit n Knoten benötigt im worst case ein Gitter der Größe $\Omega(4^n)$.

Beweis:

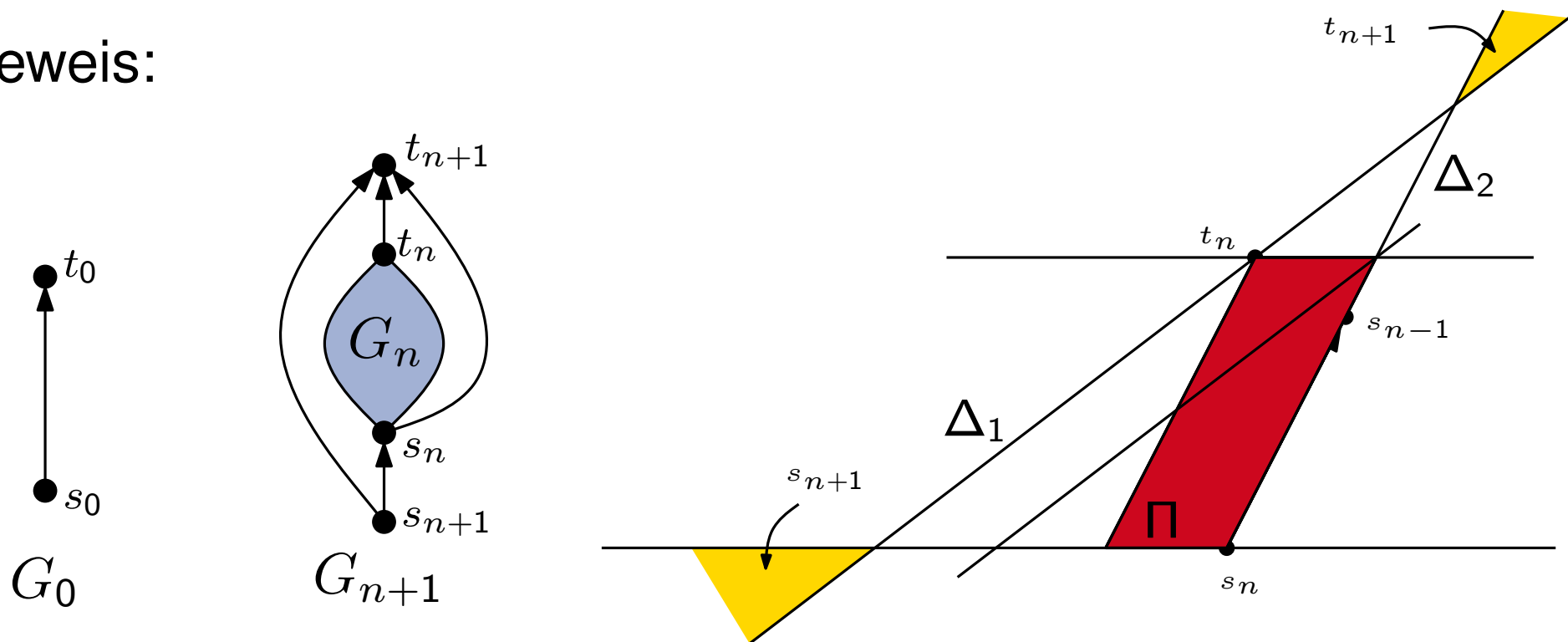


Untere Schranke für die Fläche

Satz

Jedes kreuzungsfreie Aufwärtlayout für **geordnete** einfache serien-parallele Graphen mit n Knoten benötigt im worst case ein Gitter der Größe $\Omega(4^n)$.

Beweis:

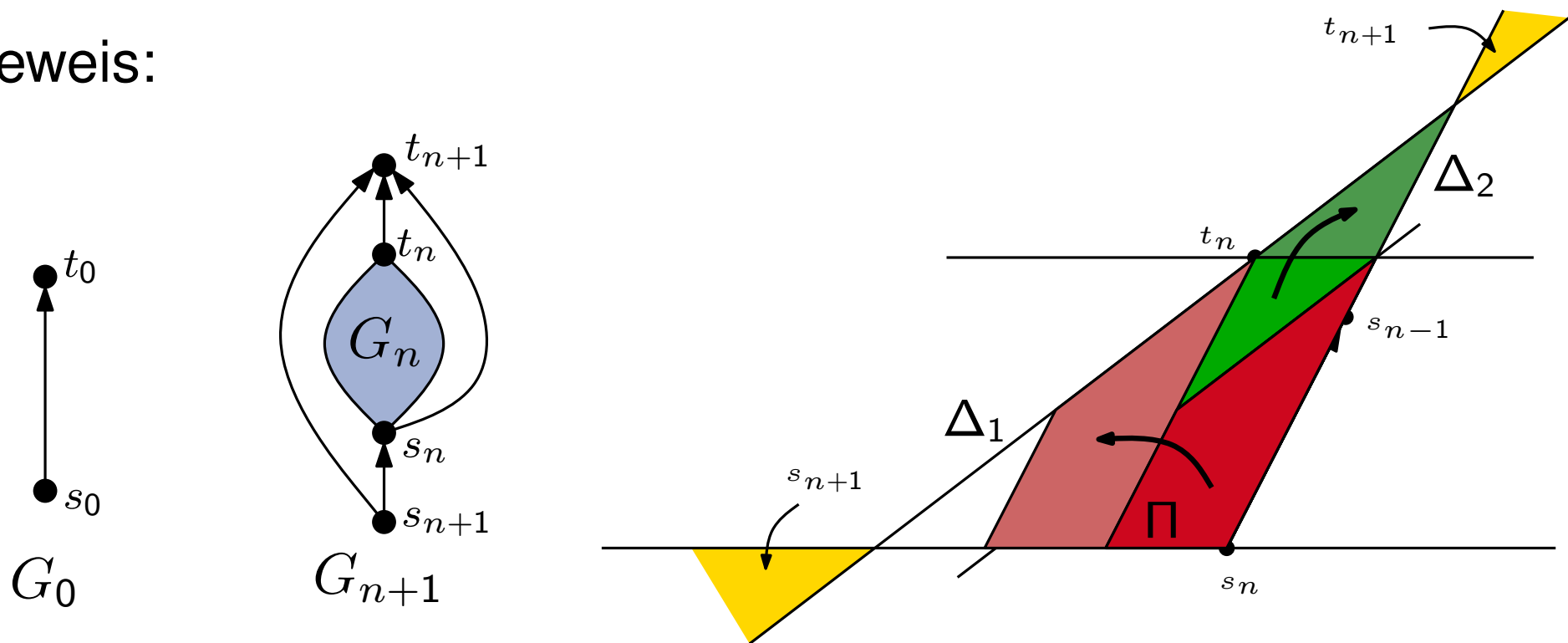


Untere Schranke für die Fläche

Satz

Jedes kreuzungsfreie Aufwärtlayout für **geordnete** einfache serien-parallele Graphen mit n Knoten benötigt im worst case ein Gitter der Größe $\Omega(4^n)$.

Beweis:

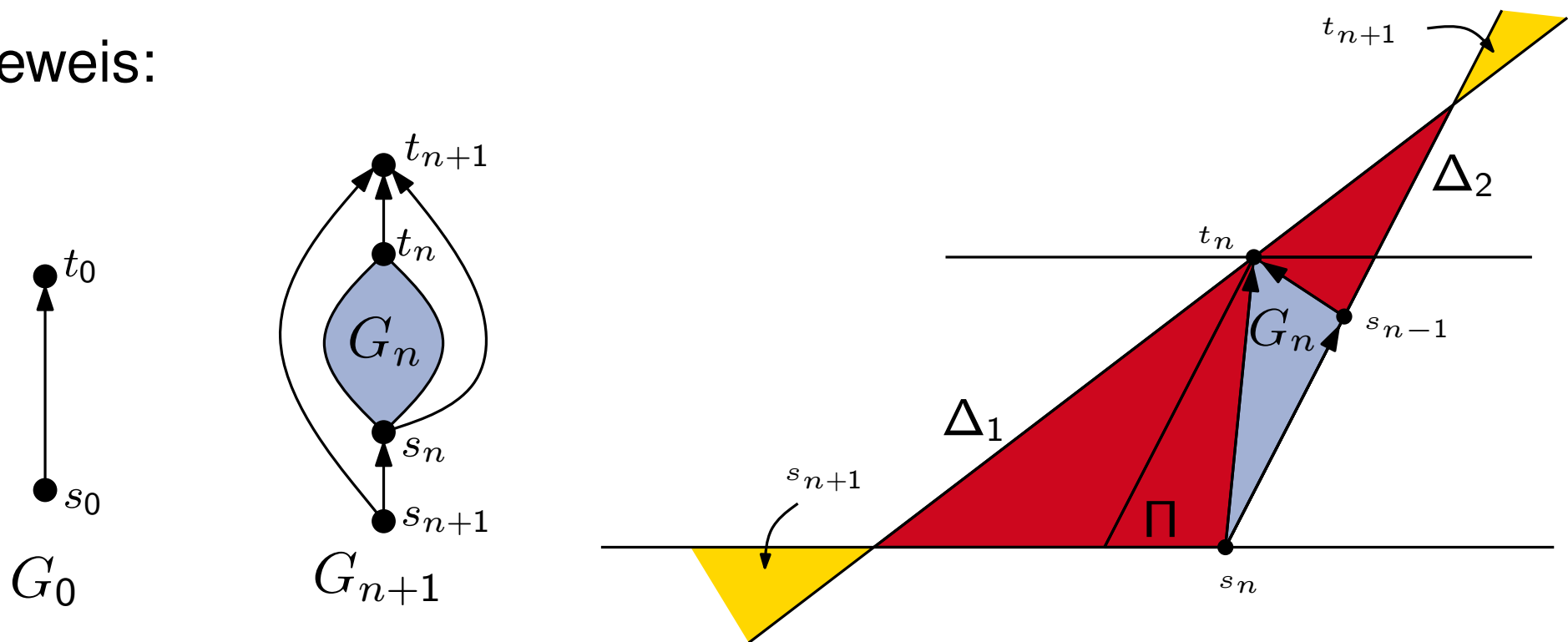


Untere Schranke für die Fläche

Satz

Jedes kreuzungsfreie Aufwärtslayout für **geordnete** einfache serien-parallele Graphen mit n Knoten benötigt im worst case ein Gitter der Größe $\Omega(4^n)$.

Beweis:



Linkslastige Ordnungen

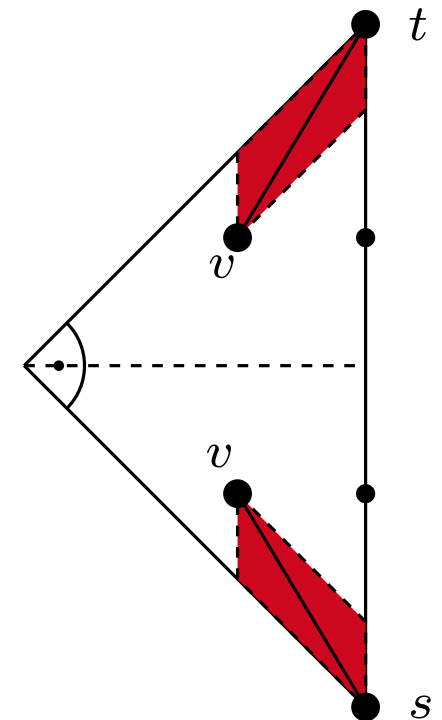
Ordnung heißt **linkslastig**, wenn Q-Knoten nur als rechte Nachfolger von P-Knoten vorkommen.

Satz

Wenn G serien-parallel, einfach und linkslastig geordnet, so besitzt G Zeichnung der Größe $O(n^2)$.

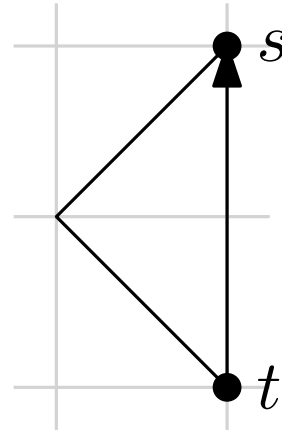
Komponenten des Dekompositionsbaums:

- Layout von G passt in rechtwinkliges, gleichschenkliges Dreieck mit vertikaler Basis, Schenkel nach links.
- Quelle in unterer Ecke, Senke in oberer Ecke, linke Ecke frei
- rechtster Nachbar von $s \neq t$ ($t \neq s$) liegt unterhalb (oberhalb) der Mitte
- v Nachbar der Quelle (Senke) \Rightarrow kein Knoten liegt im **Parallelogramm** von v und s (t).



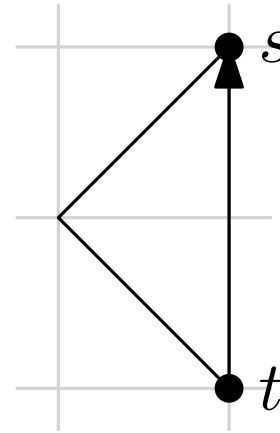
Konstruktion

Q-Knoten (Induktionsanfang):

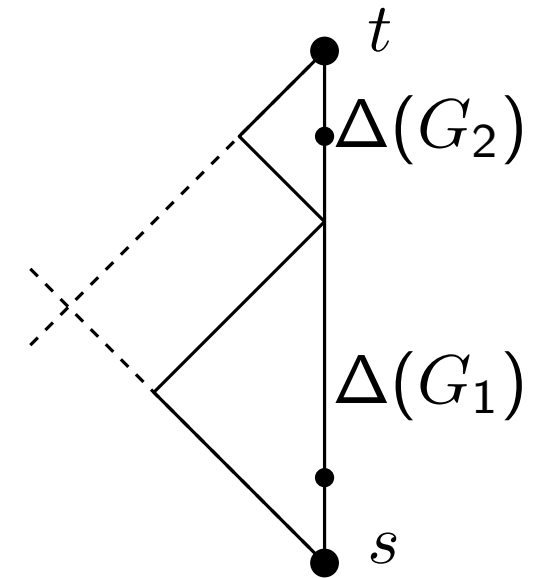


Konstruktion

Q-Knoten (Induktionsanfang):

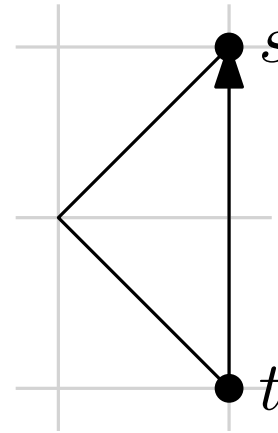


S-Knoten (serielle Komposition):

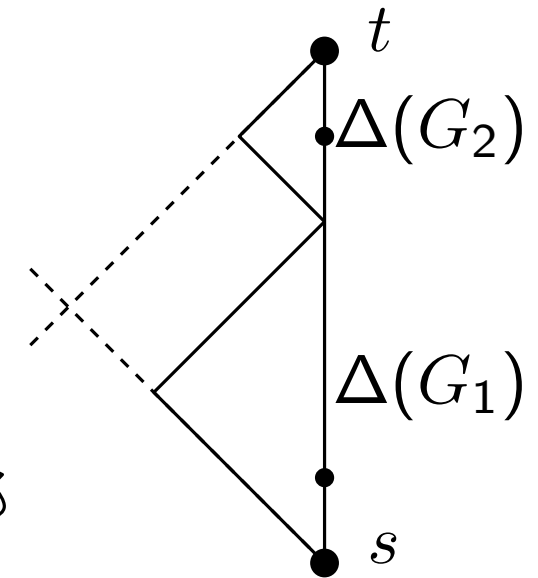


Konstruktion

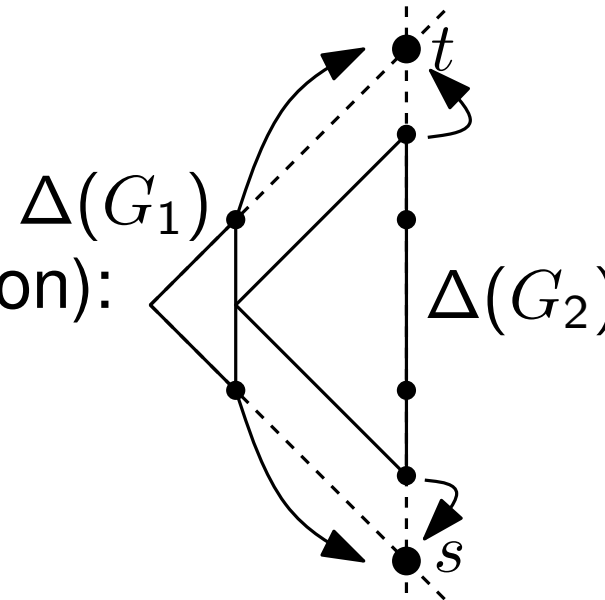
Q-Knoten (Induktionsanfang):



S-Knoten (serielle Komposition):

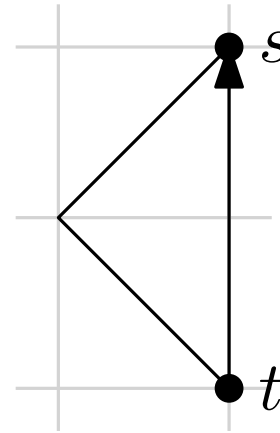


P-Knoten (parallele Komposition):

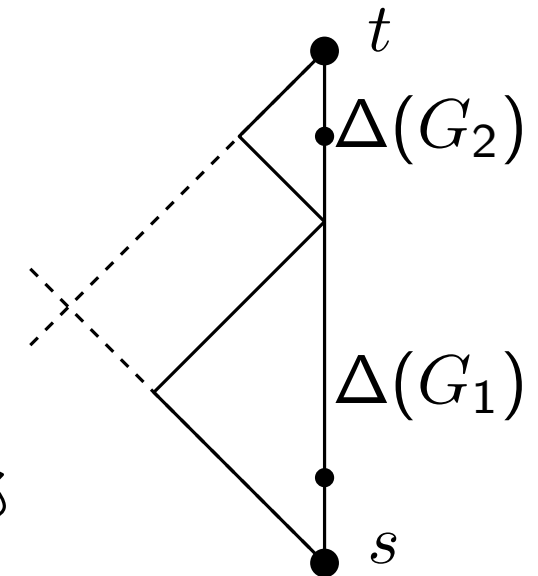


Konstruktion

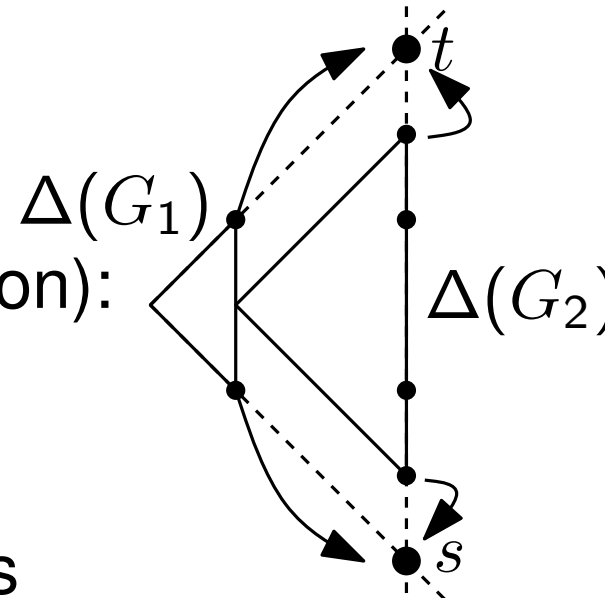
Q-Knoten (Induktionsanfang):



S-Knoten (serielle Komposition):



P-Knoten (parallele Komposition):



Eigenschaften:

- kreuzungsfrei und aufwärts
- höchstens quadratische Fläche